

# الأرصاد الجوية

## مجلة علمية ربع سنوية

رئيس التحرير

د. أشرف صابر زكي عبدالموجود

نواب رئيس التحرير

عزة مصطفى أحمد درويش

محمد الهادي قرني حسان

محمد صلاح محمد عكمة

مدراء التحرير

عبدالغفار مصطفى سيد آدم

وفاء وصفى عبد الله

محمد عادل عبدالعظيم شاهين

سكرتارية التحرير

أحمد محمود محمد عباسى

رئيس مجلس الإدارة

د. أحمد عبدالعال محمد عبدالله

الإشراف العلمي

إبراهيم محمد سعيد إبراهيم عطا

د. كمال فهمي محمد محمود

د. عبدالله عبد الرحمن عبدالله

الإشراف المالي والإداري

عبدالله أحمد متولى سمرة

نجوى حسن علي

الإخراج الفني

عيد أحمد محمود

## محتويات العدد

٢

كلمة العدد

٧

تولد منخفضات العروض الوسطى في صور الأقمار الصناعية

٢٠

الدورة الهوائية العامة للرياح

٢٥

دراسة مناخ مصر

٣١

ظواهر جوية عنيفة تحتاج العالم

٣٩

تحويل خرائط المسجلات الورقية إلى بيانات رقمية

٤٥

الطقس والجراد الصحراوي

# كلمة العدد



د. أحمد عبد العال محمد

رئيس مجلس إدارة الهيئة العامة للأرصاد الجوية

## فوز مصر برئاسة مجالس الـ(FAO) الأفارقة المعنيين بالأرصاد الجوية ومنصب نائب رئيس الاتحاد الأقليمي الأول «أفريقيا»



- ١٦-١٧ فبراير ٢٠١٩ . ٢- اجتماع اللجنة الفنية الوزارية المعنية بالأرصاد الجوية لدول إفريقيا في الفترة من ٢٠-١٨ فبراير ٢٠١٩ .
- ٣- اجتماع المؤتمر الوزاري للوزراء الأفارقة المعنيين بالأرصاد الجوية (الاجتماع العالي المستوى للوزراء الأفارقة) الفترة ٢٠ فبراير ٢٠١٩ .

في إطار توجه الدولة نحو ريادة القارة الإفريقية واستعادة مكانتها الإقليمية وتعظيمًا لدور مصرنا الحبيبة وإعلاءً لمكانتها دولياً وإقليمياً فقد قامت الهيئة العامة للأرصاد الجوية باستضافة مؤتمرات الأرصاد الجوية الإفريقية والتي شملت:

- ١- مؤتمر القيادة النسائية في إفريقيا في الفترة من



لأعضاء المنظمة العالمية للأرصاد الجوية والذين يمثلون كل دول إفريقيا حيث أن التمثيل في هذا الاجتماع على مستوى رؤساء مرافق الأرصاد الجوية في إفريقيا، بالإضافة إلى العديد من ممثلي المنظمات الدولية المعنية بخدمات الأرصاد الجوية وكذلك وقد عالى المستوى من ممثلي المنظمة العالمية للأرصاد الجوية وبعض الدول الأوروبية، بالإضافة إلى ذلك فقد تم تنظيم معرض دولي لكبرى الشركات العالمية العاملة في مجال أجهزة وخدمات الأرصاد الجوية وأيضاً من أهم إنجازات المؤتمر لدول الاتحاد الإقليمي الأول للأرصاد الجوية (RAI) فوز الدكتور أحمد عبد العال رئيس مجلس إدارة الهيئة وممثل مصر بمنصب نائب رئيس الاتحاد الإقليمي الأول (إفريقيا) وهي المرة الأولى التي تحصل فيها مصر على هذا المنصب والجدير بالذكر أنها أيضاً المرة الأولى التي يعقد فيها اجتماعات الاتحاد الإفريقي الأول للأرصاد الجوية في شمال إفريقيا وهذا مما يدل على اهتمام مصر بالعودة إلى إفريقيا وكذلك ترحيب القيادات الإفريقية وقد حضر هذا الاجتماع رؤساء مرافق الأرصاد الجوية الإفريقية لعدد ٥٥ دولة معنى أنه حضر جميع رؤساء مرافق الأرصاد الجوية.

وقد أشادت المنظمة العالمية للأرصاد الجوية بنجاح هذا المؤتمر وكذلك العديد من القنوات التليفزيونية ووسائل الإعلام المسماة.

٤- الاجتماع السابع عشر لمؤتمر دول الاتحاد الإقليمي الأول للأرصاد الجوية (RAI) الفترة من ٢٢ - ٢٣ فبراير وبالجهود المبذولة من أبناء الهيئة والدعم المطلق من معالي الفريق يونس المصري وزير الطيران المدني ومساهمة بعض الشركات التابعة لوزارة الطيران المدني لإقامة هذا المؤتمر مما كان له بالغ الأثر الطيب في إنجاحه وظهوره بالشكل اللائق والصورة المشرفة التي تليق بمكانة مصر أمام جميع دول القارة السمراء.

والجدير بالذكر أن مؤتمر القيادات النسائية الإفريقية في مجال الأرصاد الجوية هو الأول من نوعه في مجال الأرصاد الجوية في إفريقيا والذي أسفر عن اهتمام مصر بالقيادات النسائية في مصر وفي قارتنا الإفريقية كما حضر هذا المؤتمر ممثل أكثر من ثلاثون دولة إفريقية، أما بالنسبة للاجتماع الوزاري للوزراء الأفارقة المعنيين بالأرصاد الجوية فقد أسفر عن اختيار مصر لرئاسة مجلس الوزراء الأفارقة ممثلة في معالي الفريق يونس المصري وزير الطيران المدني وهذا الاجتماع هو الاجتماع الرابع لمجلس الوزراء الأفارقة المعنيين بالأرصاد الجوية ولأول مرة يحضر هذا الاجتماع واحد وعشرون وزيراً إفريقياً من الوزراء المعنيين بالأرصاد الجوية في القارة الإفريقية.

فقد قامت الهيئة باستضافة وتنظيم دورة الانعقاد السابعة عشر لاجتماع دول الاتحاد الإقليمي الأول







## رسالة شكر وتقدير

يتقدم الفريق يوسف المصري وزير الطيران المدني بخالص الشكر والتقدير لكل من شارك بالعمل وساهم في نجاح المؤتمر الوزاري الأفريقي للأرصاد الجوية وخروجه بالصورة المشرفة التي تليق بمكانة مصر أمام جميع دول القارة السمراء، كما أهنتكم بإختيار مصر لرئاسة مجلس الوزراء الأفارقة المعين بالأرصاد الجوية في دورته القادمة والذي يعزز دور مصر الريادي داخل القارة ويعكس مدى ثقة الأشقاء الأفارقة في القدرات والخبرات المصرية في هذا المجال.

الزملاء والزميلات الكرام ..

أن ما ملسته فيكم من جهد وإتقان وإخلاص للعمل يعكس ما أتطلعه لكم من مستقبل واعد لخدمة قطاع الطيران المدني هذا المرفق الحيوي . متمنياً لكم مزيد من النجاحات والتوفيق.

# تولد منخفضات العروض الوسطى في صور الأقمار الصناعية



## أنواعها - 2

د. عبدالله عبد الرحمن عبد الله

مدير عام الإدارة العامة لتدريب الفنيين على الرصد الجوي

المراجعة العلمية: د. كمال فهمي

استعرضنا في المقالة السابقة أنواع المنخفضات المتكونة في العروض الوسطى وإمكانية

التنبؤ بها من خلال ملاحظاتنا لأنماط السحب من صور الأقمار الصناعية، وناقشت التصور

الأولى لتقسيم «مكلينن ونيل» (McLennan and Neil 1988) وتطويرة عن طريق «يونج»

(Young 1993) بتقسيم أنواع تولد المنخفضات عن طريق السحب الركامية الشديدة

أو سحب الكُما (enhanced Cu or comma clouds):

التطور عن طريق حزمة السحب الرئيسية للجبهة  
Main frontal cloud band

يتولد هذا النوع من المنخفضات في أماكن تطور حزمة  
السحب الأساسية المصاحبة للجبهة الباردة.

أ- تولد المنخفضات في الامتداد الرأسى للترب  
Meridional trough cyclogenesis»

يتشكل هذا النوع من المنخفضات بظهور حزمة  
السحب الرئيسية F فى التيارات الصاعدة على  
يمين الترب، وتبدأ فىأخذ شكل حرف S مصاحبة  
لتيار هوائى نفاث، (شكل 1 - 1). تظهر سحب متوسطه  
الارتفاع E من أسفل السحابة F عند نقطة انحنائها  
من منتصفها تقريباً، يكون ذلك مصاحباً لظهور موجه  
قصيرة من الترب مع نشوء حركة دوامية موجبة PVA  
صاعد، وتبرد قمة تلك السحابة شيئاً فشيئاً أثناء نموها  
وازيد ياد ارتفاعها، (شكل 1 - 2). تندمج السحابة E مع  
السحابة F فى المستويات العليا مع ازيد ياد الحركة

■ فى الهواء البارد العلوى Cold Air

■ بالاطباق الفورى Instant Occlusion

■ بانقسام التدفق العلوى Split flow

فى تلك المقالة سوف نستكمل تصور «مكلينن  
ونيل» وتطويرة عن طريق «يونج» فى تقسيم أنواع تولد  
المنخفضات عن طريق حزمة السحب الرئيسية للجبهة  
Main frontal cloud band، سنستعرض النوعين  
التاليين:

■ فى الامتداد الرأسى للترب meridional trough

■ الترب المفلطح، التدفق المتشتت

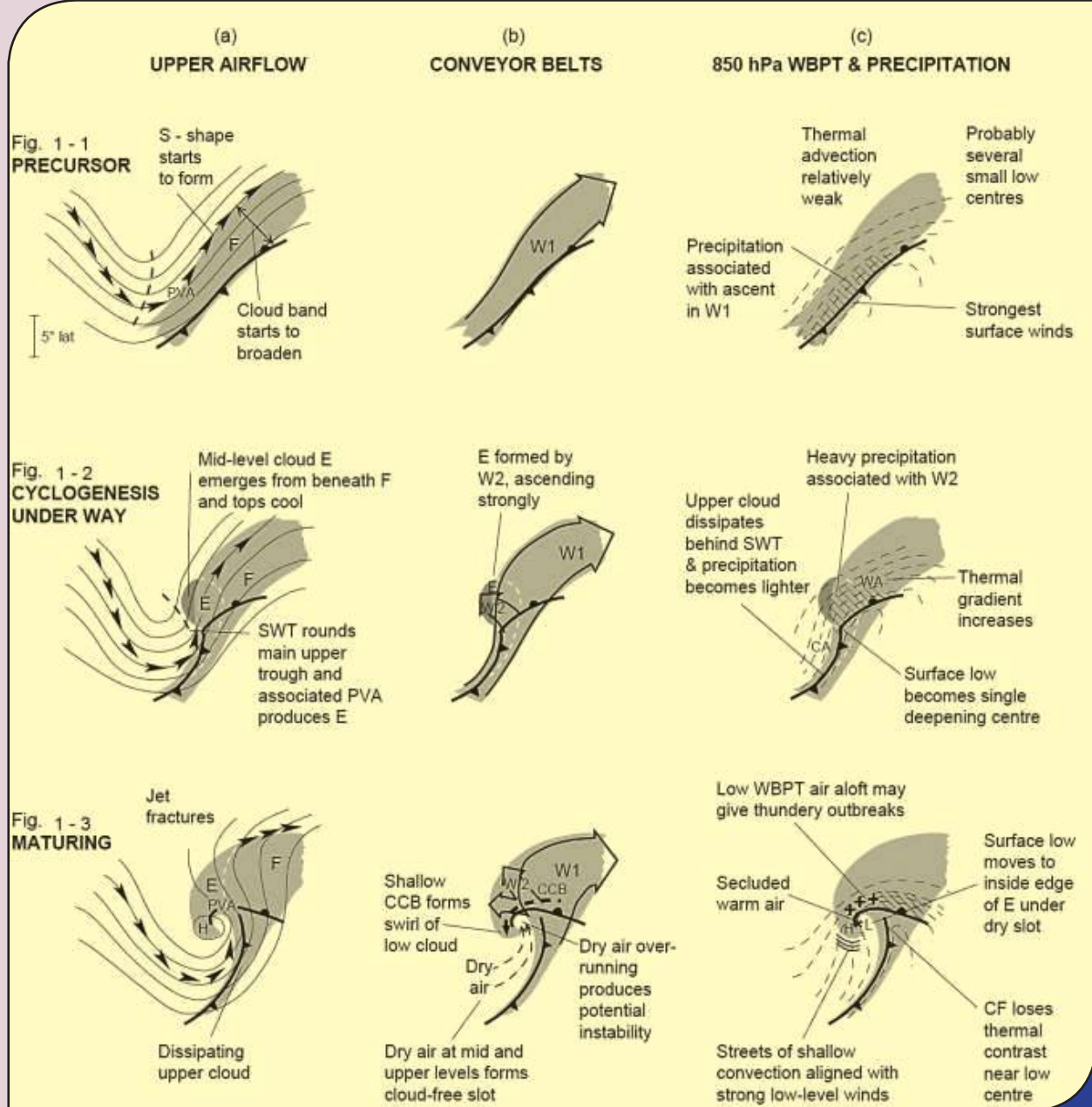
Flat trough, diffluent flow

على أن نستكمل النوعين الآخرين فى المقالة  
القادمة ان شاء الله، وهم:

■ الموجه المحفرة لتولد المنخفضات induced wave

■ الحوض المفلطح، التدفق المجتمع  
(Flat trough, confluent flow) (cloud head)

الدوامية الموجبة «PVA» مع امتداد رأسى للترف على يمين الترف العلوي، (شكل 1 - 3).



(شكل 1): مخطط لتولد منخفضات العروض الوسطى في الامتداد الرأسى للترف .

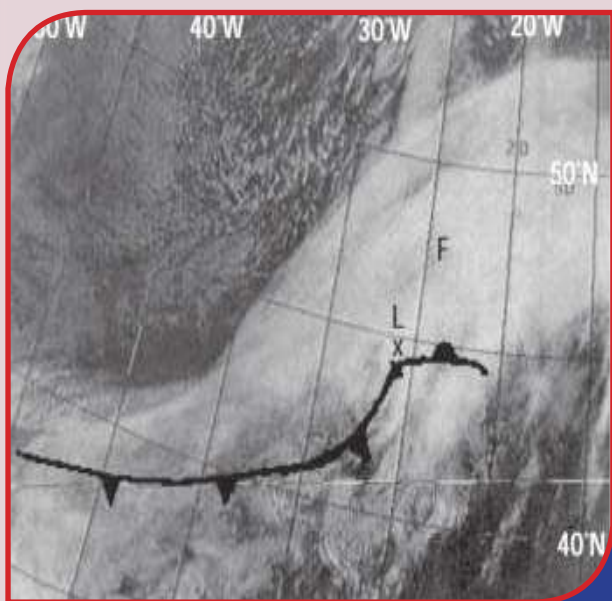
(a) نمط التدفق العلوي على 300 هـ.ب ومخيط السحاب الرئيسي للجبهة كما هو ظاهر على صور الأشعة تحت الحمراء IR .

(b) نموذج للتدفق الهوائي عن طريق المزام الهوائي النقال  $W_1$  &  $W_2$  .

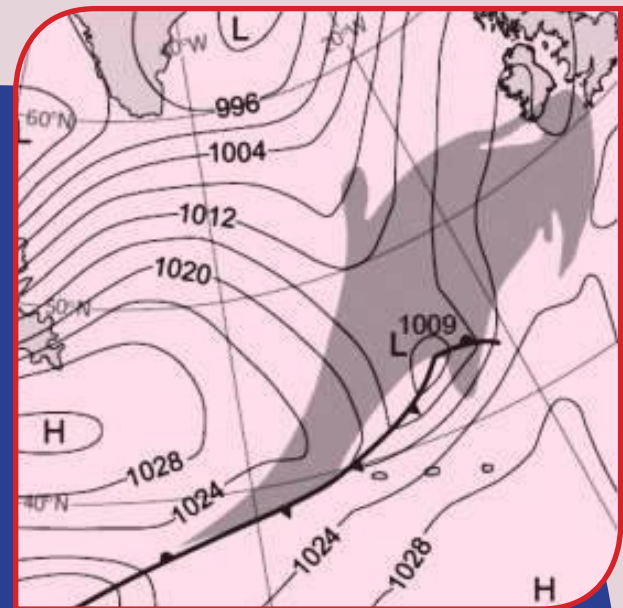
(c) خطوط  $O_w$  على 850 هـ.ب وأماكن هطول الأمطار، شكل 1 - 1 مرحلة ما قبل تكون المنخفض. شكل 1 - 2 مرحلة أثداء تكون المنخفض. شكل 1 - 3 مرحلة تطور المنخفض.

### مثال - I:

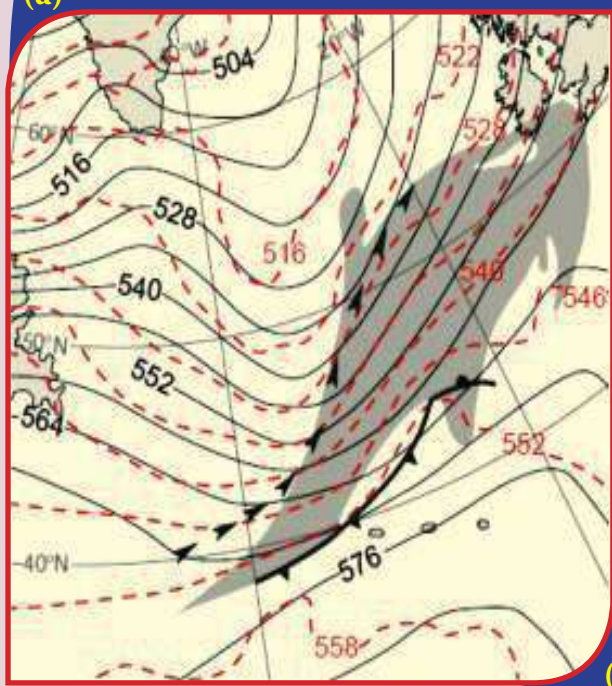
هذا المثال يوضح مخرجات التنبؤات العددية وتتابع صور الأقمار الصناعية وخرائط تمتد لـ 30 ساعة أثناء تعمق المنخفض بحوالى 27 هـ.ب ، (أشكال 2، 3، 4). تلك الحالة توضح ماتم الاشارة اليه في الرسم التوضيحي (شكل - 1). تتولد السحابة «E» من الحزام النقالي  $W_2$  وممكن أن يتكون هذا الحزام النقالي  $W_2$  إما منفصلًا عن ومن أسفل



(a)



(c)



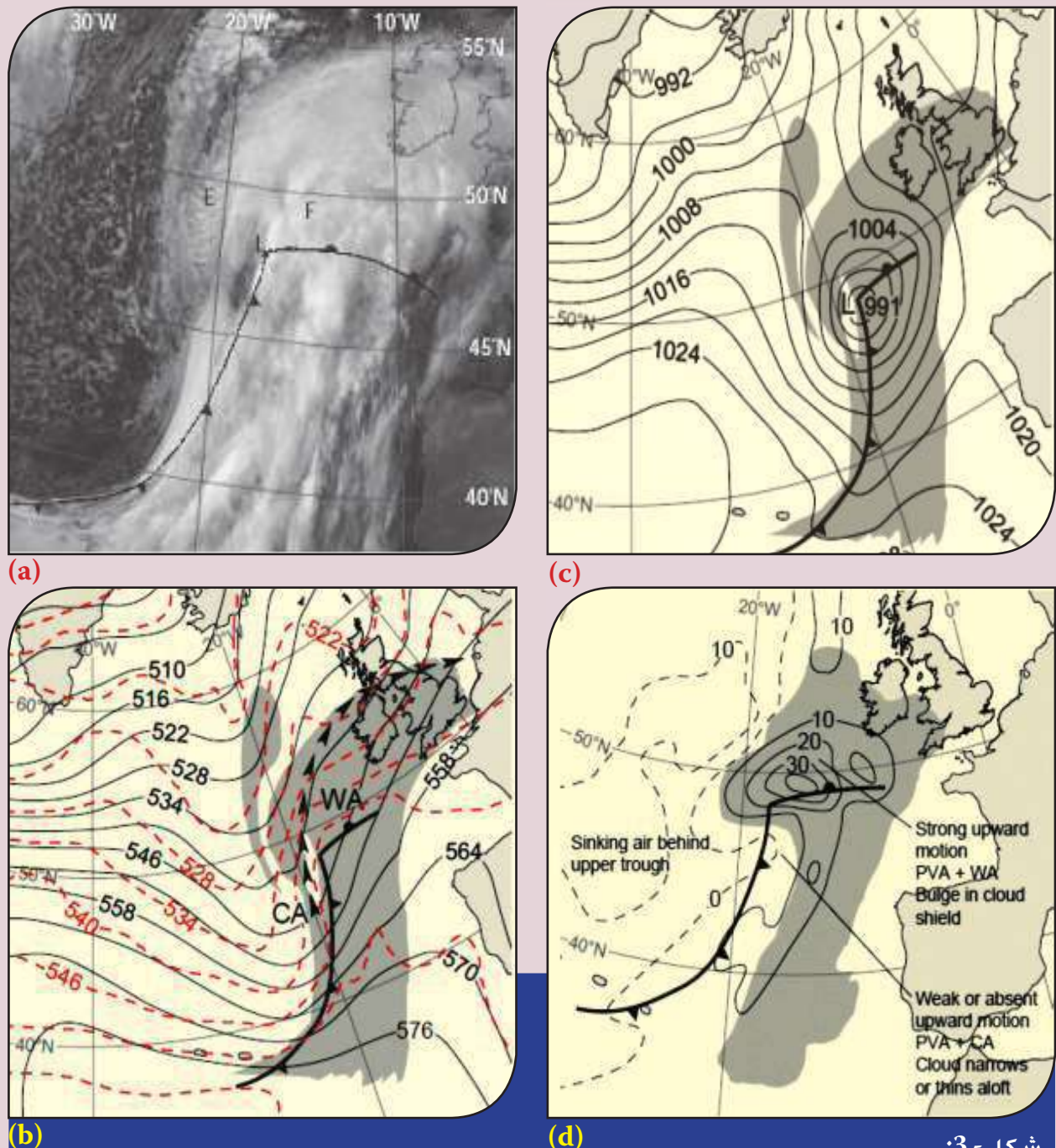
(b)

### شكل 2:

(a) صورة الأشعة تحت الحمراء من NOAA ساعه 21:47 ت.ع ليوم 17 يناير 1988 هي السحابة الرئيسية للجبهة.

(b) خريطة طبقات الجو العليا في نفس التوقيت. يتضح فيها خطوط الارتفاعات 500 هـ.ب (خطوط سوداء متصلة بوحدة gpm) . خطوط سمك الطبقه من 500-1000 هـ.ب (خطوط حمراء متقطعة . بوحدة gpm) . ومحور التيار الهوائي النفاث (أسهم سوداء).

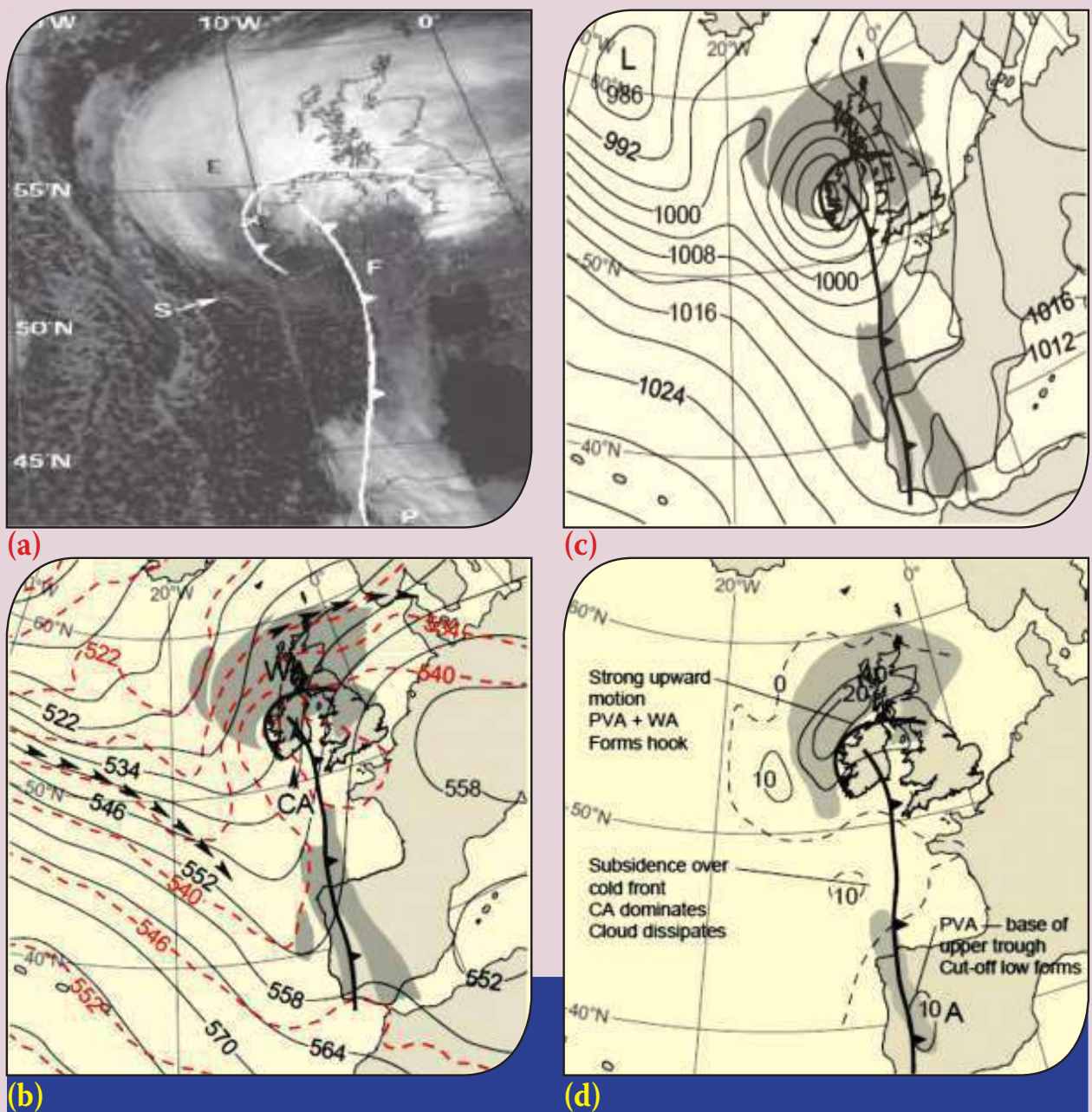
(c) خليل خطوط تساوى الضغط السطحيه، بوحدة هـ.ب، فى نفس التوقيت.



شكل - 3:

(a) صورة الأشعة تحت الحمراء من NOAA ساعة 09:16 ت.ع. ليوم 18 يناير 1988. F هي السحابة الرئيسية للجبهة.  
 (b) خريطة طبقات الجو العليا توقيت 09:00 ت.ع. يتضح فيها خطوط الارتفاعات 500 هـ.ب (خطوط سوداء متصلة، بوحدة gpm). خطوط سمك الطبقة من 500-1000 هـ.ب (خطوط حمراء متقطعة . بوحدة gpm).  
 (c) محور التيار الهوائي النفات (أسهم سوداء).

(d) خليل خطوط تساوى الضغط السطحيه، بوحدة هـ.ب، فى وقت 09:00 ت.ع.  
 (e) متوسط السرعة الرئيسية بين 900 و 300 هـ.ب (بوحدة هـ.ب/س) عند الساعة 0900 ت.ع. الخطوط المتصلة تمثل الصعود والخطوط المتقطعة تمثل الهبوط. يشير التظليل الى الرطوبة النسبية > 90% من مخرجات النماذج العددية.



شكل - 4 :

(a) صورة الأشعة تحت الحمراء من NOAA ساعة 09:16 ت.ع ليوم 19 يناير 1988. F هي السحابة الرئيسية للجبهة.

(b) خريطة طبقات الجو العليا توقيت 04:20 ت.ع، يتضح فيها خطوط الارتفاعات 500 ه.ب (خطوط سوداء متصلة، بوحدة gpm)، خطوط سمك الطبقة من 500-1000 ه.ب (خطوط حمراء متقطعة، بوحدة gpm)، ومحور التيار الهوائي النفاث (أسهم سوداء).

(c) تحليل خطوط تساوي الضغط السطحي، بوحدة ه.ب، في وقت 03:00 ت.ع.

(d) متوسط السرعة الراسية بين 900 و 300 ه.ب (بوحدة ه.ب/س) عند الساعة 03:00 ت.ع، الخطوط المتصلة تمثل الصعود والخطوط المتقطعة تمثل الهبوط. يشير التحليل الى الرطوبة النسبية 90% من مخرجات النماذج العددية.

تؤدى بدورها بظهور حالة جبهة مختلفة والمصاحبة لتولد المنخفضات بصورة مختلفة عما سبق شرحة سابقاً.

- تتحرك السحابة العلوية بسرعة، أمام منطقة الجبهة على السطح، مع الرياح العلوية الشديدة، والتي تُنبع جبهة منقسمة Split Front من السحابة العلوية.
- عادة لا يظهر الجزء الداخلي من الجبهة المنقسمة على خرائط توزيعات الضغط السطحية، المتكون من السحابة F والحزام الهوائي النقال  $W_1$  المدعم للسحابة F من الممكن أن يتكون من ظواهر جوية على مستويات أعلى من السطح مما يؤدي لظهور السحابة F.

أثناء تكون وتطور تولد المنخفضات في تلك الحالة، وعلى يمين مقدمة التيار الهوائي النفاث، تولد حركة دوامية سالبة NVA والتي بدورها تولد تيارات هابطة مما يؤدي إلى انقسام السحابة F إلى جزئين، جزء يكون مع الجبهة والجزء الآخر يتدفق مع الترف المفلطح في مؤخرة الجبهة.

#### مثال - ٢:

فى هذه الحالة تكون الحافة من جهة القطب للسحابة F غير واضحة بشكل جيد عن الحالات المناقشة سابقاً، شكل (6 - a). الصورة توضح أن السحابة E والتي تكون قمتها أدفأ نسبياً من السحابة F، تصبح ممتدة بوضوح كلما تقدمت الحالة تباعاً، أشكال (7 - a) و (8 - a). يمكن رسم حالتين من أنظمة الجبهات في تلك الحالة، أشكال من (6 - c) إلى (8 - c)، حيث التباين الحراري يكون كبيراً من جهة القطب من نظام الجبهة.

من الملاحظ أن التباين الحراري يزداد بالقرب من السحابة E ويضعف بصورة كبيرة في جنوب سحابة الكاما Comma cloud في مكان هبوط الهواء من الغزو الهوائي البارد CA والذي يتسبب في تلاشى السحابة، مخلفاً وراءه شريط ضيق من السحب ذات القمم الدافئة تكون واضحة في نهاية الجبهة الباردة، شكل (4 - a). في منطقة السحب P، شكل (4 - a)، بالقرب من نهاية الترف العلوي، توجد حركة دورانية موجبة قوية والتي تقود عملية الصعود، الموضع A في شكل (4 - d). وفي نهاية المطاف هذا الوضع يؤدي إلى تكون منخفض جوى سطحى مقطوع من المنخفض الأساسي، شكل (c - 4).

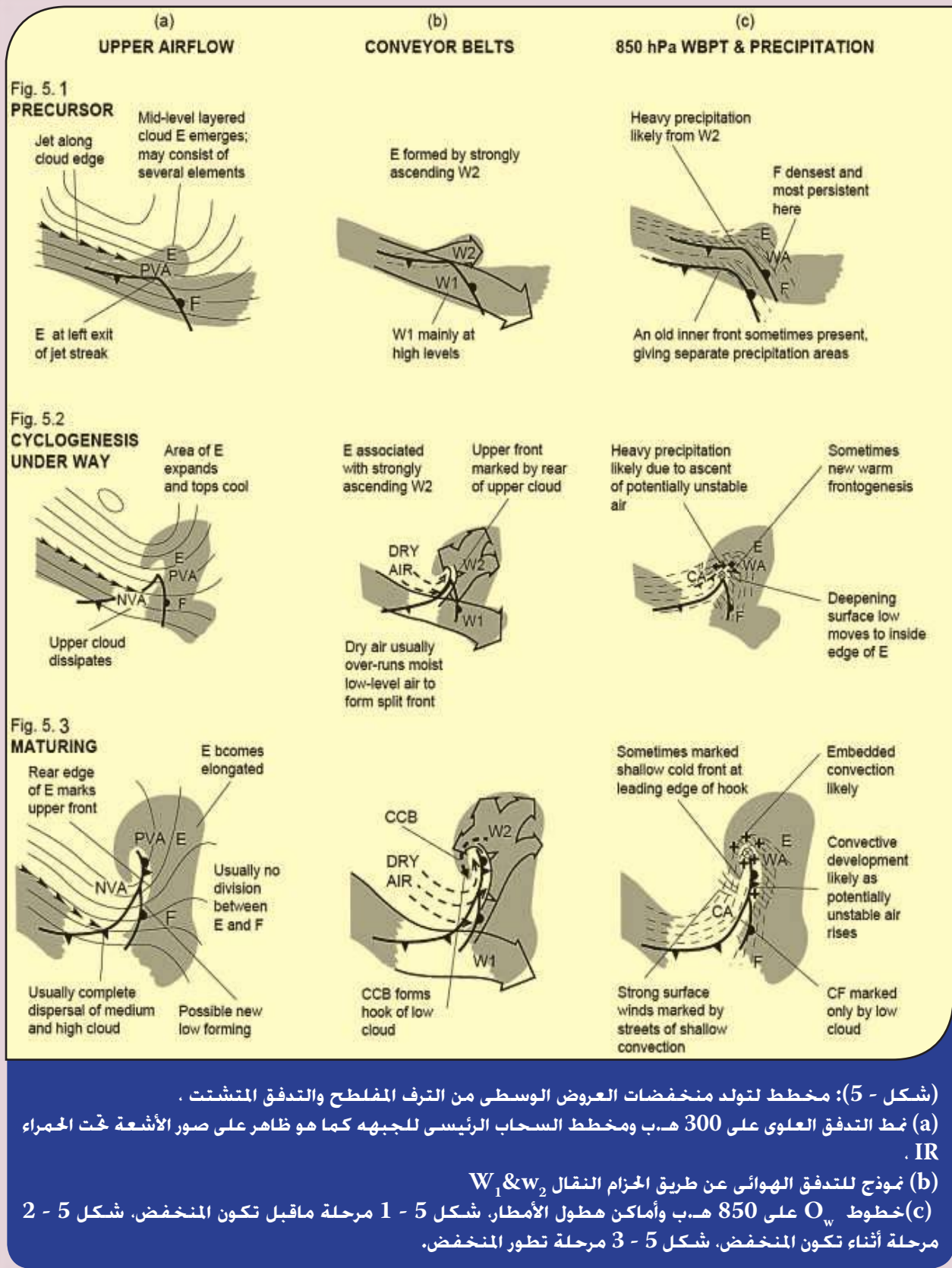
### ب- تولد منخفضات من الترف المفلطح، التدفق المتشتت

Flat trough, diffluent flow:

مفتاح تولد المنخفضات من الترف المفلطح أو التدفق المتشتت هو الحركة الصاعدة على يسار مقدمة التيار الهوائي النفاث والتي يأخذ الشكل شبه المستقيم أو المفلطح والمصاحب للتRF العلوي، أشكال (5 - 1 إلى 5 - 3). المواصفات الرئيسية لتلك الحالة يمكن توضيحها كالتالي:

■ تبدأ السحابة F بشكل شبه مستقيم وليس على شكل حرف S، أول اشارة لتولد المنخفضات في تلك الحالة هو ظهور السحابة E من الجهة الباردة من السحابة F.

■ تبدأ السحابة E المدعومة من الحزام الهوائي النقال  $W_2$ ، في أن تصبح أكثر امتداداً بزاوية عمودية على تدفق الهواء العلوي المصاحب لمقدمة التيار النفاث من جهة اليسار، والتي

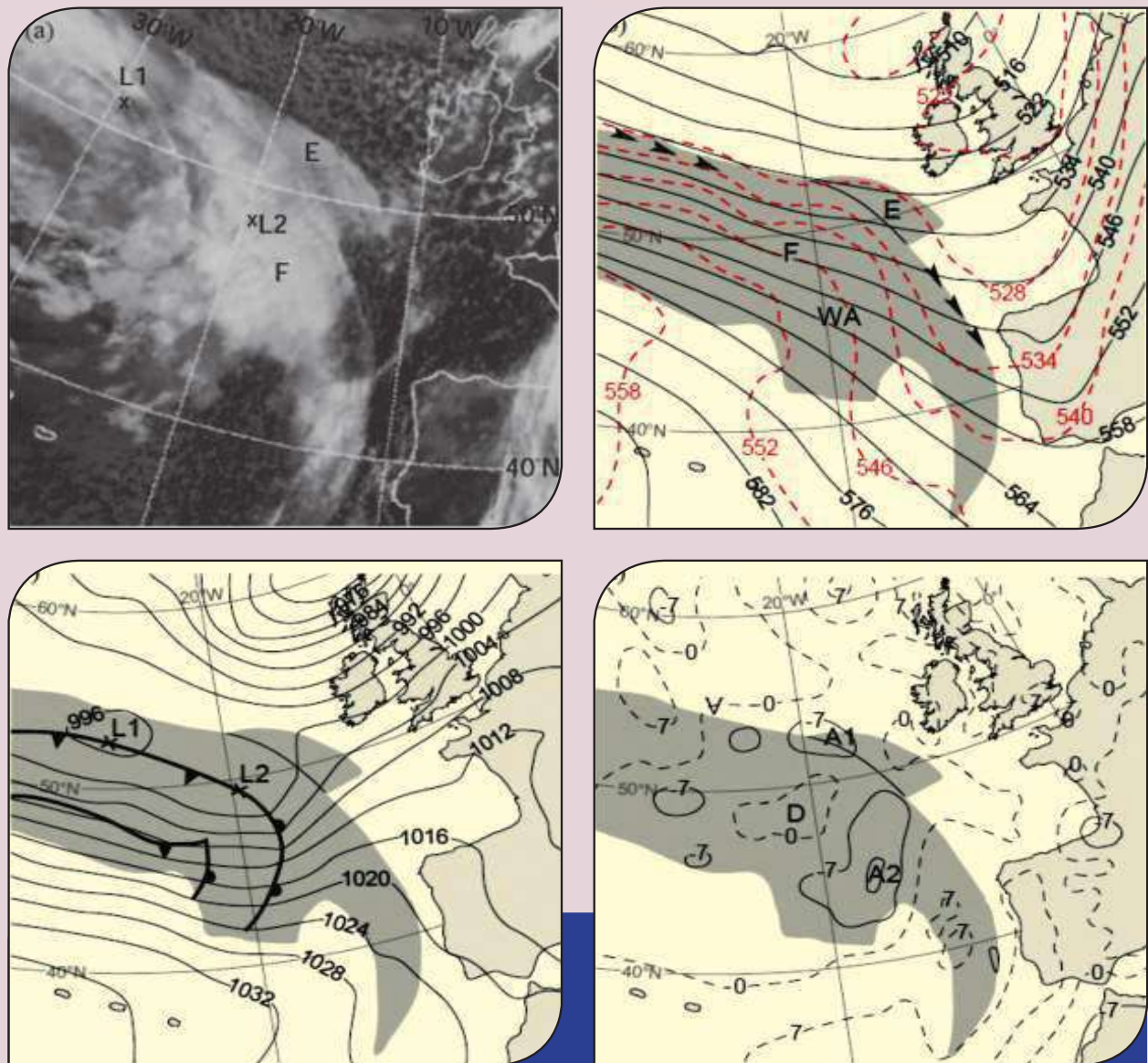


(شكل - 5): مخطط لتولد منخفضات العروض الوسطى من التردد المفلطح والتدفق المتشتت .

(a) نمط التدفق العلوي على 300 هـ.ب ومخيط السحاب الرئيسي للجهة كما هو ظاهر على صور الأشعة تحت الحمراء . IR

(b) نموذج للتدفق الهوائي عن طريق الحزام النقال  $W_1 \& W_2$

(c) خطوط  $O_w$  على 850 هـ.ب وأماكن هطول الأمطار، شكل 5 - 1 مرحلة ماقبل تكون المنخفض. شكل 5 - 2 مرحلة أثناء تكون المنخفض. شكل 5 - 3 مرحلة تطور المنخفض.



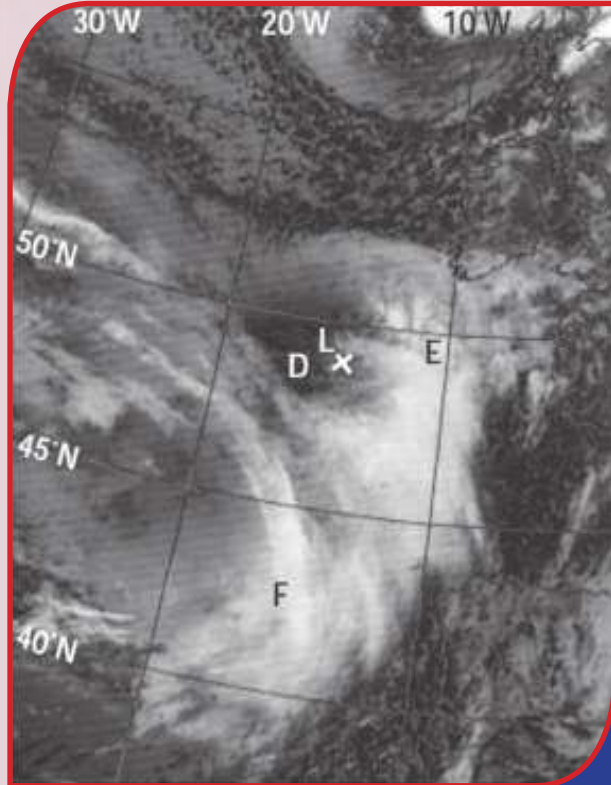
شكل - 6:

(a) صورة الأشعة تحت الحمراء من متيوسات ساعة 09:00 ت.ع ليوم 23 فبراير 1989. F هي سحابة الجبهة. E هي سحابة أقل ارتفاعاً بدأت للظهور في الجانب الشرقي من السحابة LX. L1 و L2 تشير إلى مركز المنخفض الجوى على السطح.

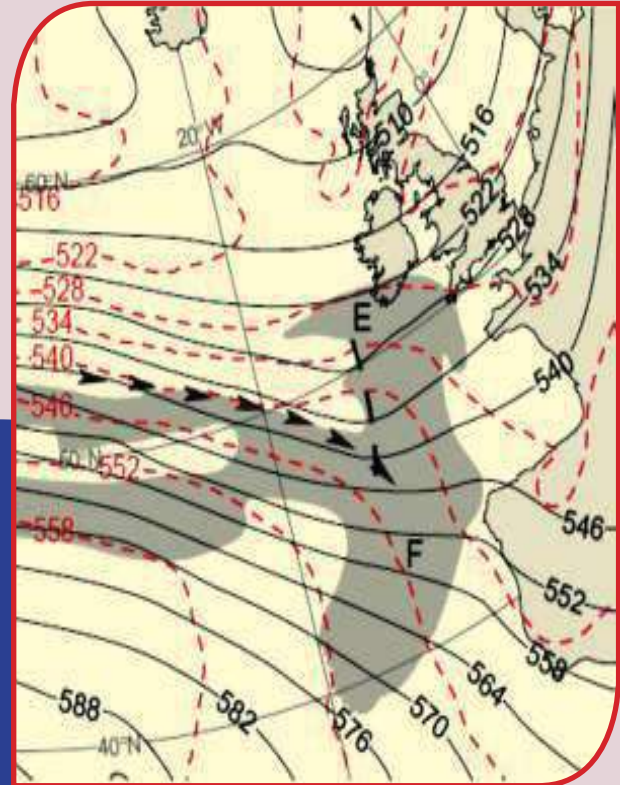
(b) خريطة طبقات الجو العليا في نفس التوقيت. يتضح فيها خطوط الارتفاعات على 500 هـ.ب (خطوط سوداء متصلة . بوحدة gpm) . خطوط سمك الطبقة من 500-1000 هـ.ب (خطوط حمراء متقطعة ، بوحدة gpm) . ومحور التيار الهوائي النفاث (أسهم سوداء).

(c) خليل خطوط تساوى الضغط السطحية، بوحدة هـ.ب في نفس التوقيت. L1 و L2 هي مراكز منخفضات على السطح.

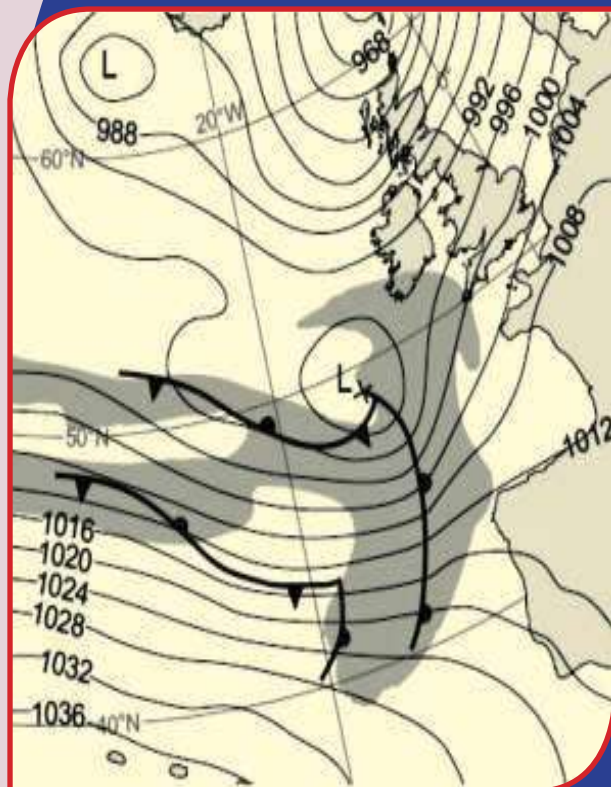
(d) متوسط السرعة الرئيسية على 900 هـ.ب (بوحدة هـ.ب/س) عند الساعة 03:00 ت.ع. الخطوط المتصلة تمثل الصعود والخطوط المتقطعة تمثل الهبوط A1 و A2 تمثل مناطق الصعود القوية (القيم السالبة). D تمثل مناطق الهبوط. و V تمثل الدورانية العظمى.



(a)



(c)

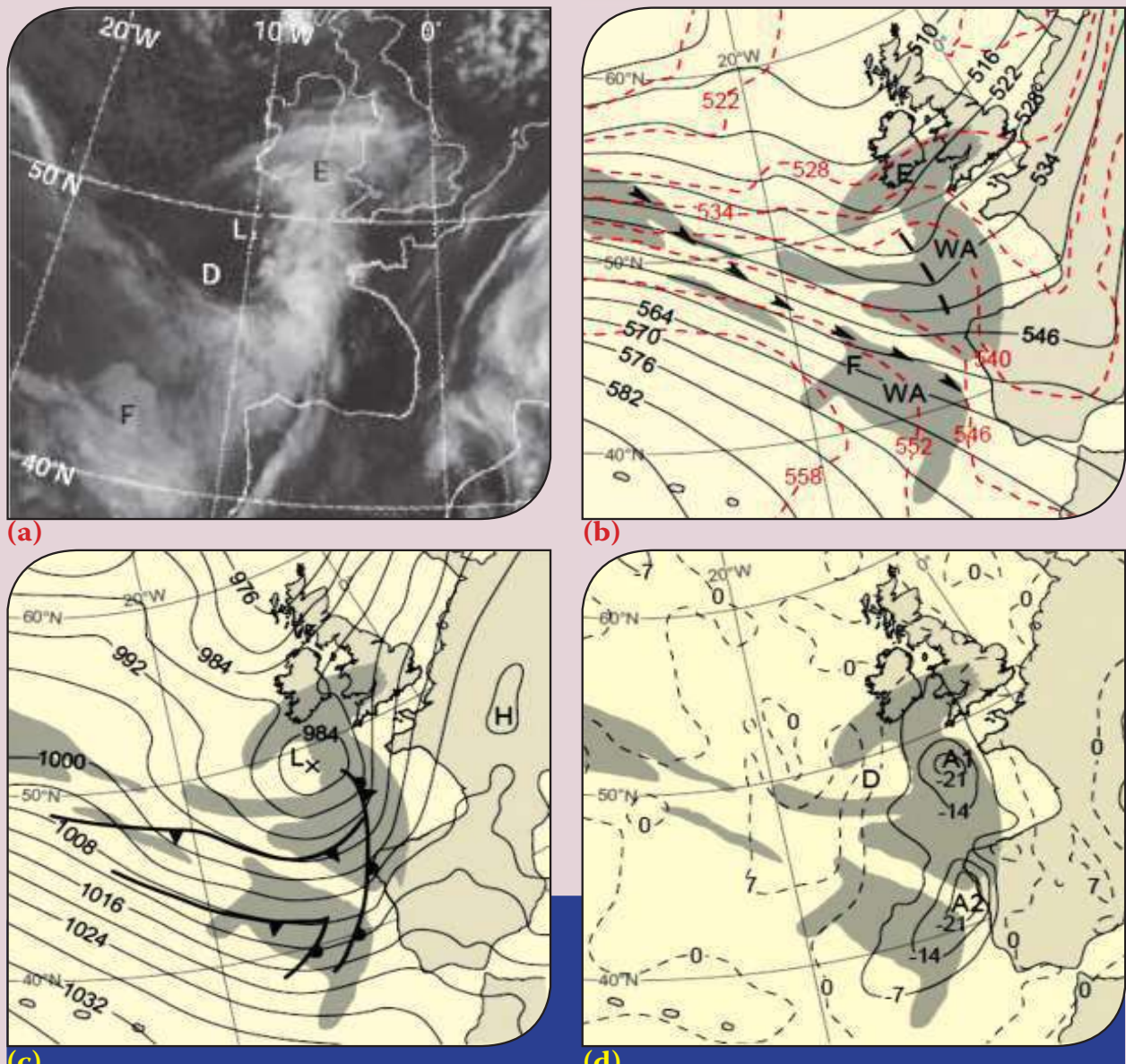


(b)

شكل - 7 :  
 (a) صورة الأشعة تحت الحمراء من NOAA 11  
 ساعة 14:38 ت.ع ليوم 23 فبراير 1989. F هي سحابة الجبهة، E هي سحابة أقل ارتفاعاً بدأت للظهور من الجانب الشرقي من السحابة F. تشير إلى مركز المنخفض الجوى على السطح. D هو أخدود من الهواء الجاف.

(b) خريطة طبقات الجو العليا في نفس التوقيت. يتضح فيها خطوط الارتفاعات 500 هـ.ب (خطوط سوداء متصلة بوحدة gpm). خطوط سمك الطبقة من 500-1000 هـ.ب (خطوط حمراء متقطعة بوحدة gpm). ومحور التيار الهوائي النفاث (أسهم سوداء).

(c) خليل خطوط تساوى الضغط السطحية بوحدة هـ.ب توقيت 15:00 ت.ع. L<sub>1</sub> و L<sub>2</sub> هـ.ب مراكز منخفضات على السطح.



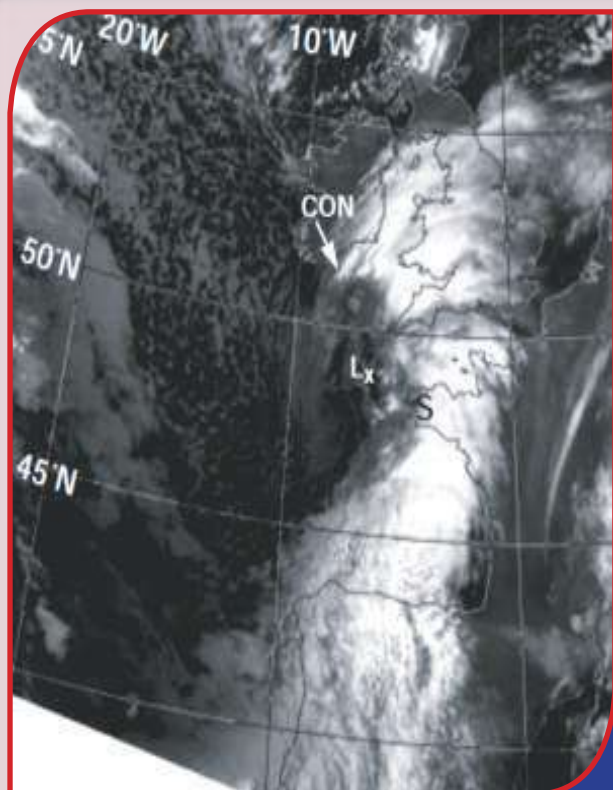
شكل - 8:

(a) صورة الأشعة تحت الحمراء من متىوسات ساعة 21:00 ت.ع ليوم 23 فبراير 1989. F هي سحابة الجبهة، E هي سحابة أقل ارتفاعاً بدأت للظهور في الجانب الشرقي من السحابة LX. LX تشير إلى مركز المنخفض الجوى على السطح.

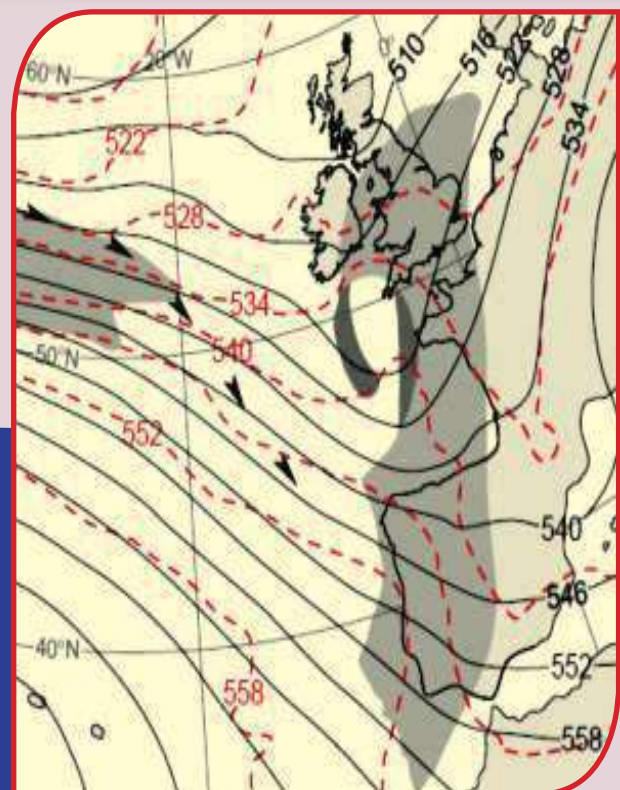
(b) خريطة طبقات الجو العليا في نفس التوقيت، يتضح فيها خطوط الارتفاعات 500 هـ.ب (خطوط سوداء متصلة، بوحدة gpm)، خطوط سمك الطبقة من 1000-500 هـ.ب (خطوط حمراء متقطعة، بوحدة gpm)، ومحور التيار الهوائي النفاث (أسهم سوداء).

(c) خليل خطوط تساوى الضغط السطحية، بوحدة هـ.ب في نفس التوقيت. L<sub>1</sub> و L<sub>2</sub> هي مراكز منخفضات على السطح.

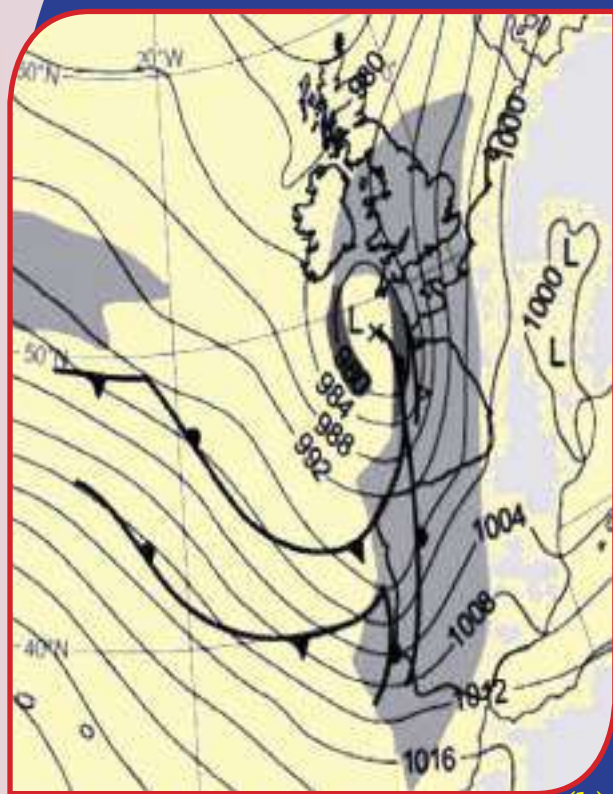
(d) متوسط السرعة الرئيسية على 900 هـ.ب (بوحدة هـ.ب/س) عند الساعة 21:00 ت.ع، الخطوط المتصلة تمثل الصعود والخطوط المتقطعة تمثل الهبوط. A<sub>1</sub> و A<sub>2</sub> تمثل مناطق الصعود القوية (القيم السالبة). D تمثل مناطق الهبوط، و V تمثل الدورانية العظمى.



(a)



(c)



(b)

شكل - 9:  
(a) صورة الأشعة تحت الحمراء من NOAA 11 ساعه 02:52 ت.ع ليوم 24 فبراير 1989. F هي سحابة الجبهة، E هي سحابة أقل ارتفاعاً بدأت للتو في الظهور من الجانب الشرقي من السحابة LX. LX تشير إلى مركز المنخفض الجوى على السطح. S تكون موضع الجبهة المقسمة. CON يشير إلى السحب المحملية. (b) خريطة طبقات الجو العليا ساعه 03:00. يتضح فيها خطوط الارتفاعات 500 هـ.ب (خطوط سوداء متصلة بوحدة gpm) . خطوط سمك الطبقة من 500-1000 هـ.ب (خطوط حمراء متقطعة بوحدة gpm) ، والتظليل الغامق يشير إلى السحب ذات القمم المنخفضة. (c) خليل خطوط تساوى الضغط السطحية، بوحدة هـ.ب توقيت 03:00 ت.ع يوم 24 فبراير 1989. L1 و L2 هي مراكز منخفضات على السطح.

- شكل 9 - a) تبعاً لتخلل الهواء الجاف العلوي مكونة حالة من عدم الاستقرار.  
 ■ تكون جبهة منقسمة بالقرب من حرف S- (شكل 9  
 .).  
**مثال - ٢:**

يوضح شكل (10 : a - e) انتشار السحابة - E. على المحيط الهادئ من 28 - 30 نوفمبر 1987. يبدأ تولد المنخفض سريعاً ساعة 00:00 ت.ع ليوم 29 نوفمبر عندما كان مركز المنخفض الجوى 1008 هـ.ب. خلال 24 ساعة مركز المنخفض قل بمقدار 30 هـ.ب. الرصدات السطحية كانت قليلة، لكن أخذت تقارير من قاربيين وسجلت الرياح 55 عقدة في وجود دوامة عنيفة.



(a)



(b)

يمكن الإشارة إلى نقاط أخرى:

- يتطور مركز المنخفض الجوى الضحل على السطح L2 (أشكال 6 - a, c, e)، المصاحبة للسحابة «E».
- تتلاشى أجزاء كثيرة من السحابة «F» خلف السحابة «E» في المستويات المتوسطة والعالية، (أشكال 7 - 8 (a)).
- يقع مركز المنخفض تحت قمم السحب الدافئة لمؤخرة السحابة «E»، (أشكال 7 - 8 (a)).
- بينما تمتد السحابة «E»، يتحرك المنخفض من أسفل التدفق العلوي الشديد وتقل سرعته.
- في المراحل المتأخرة من تولد المنخفضات من هذا النوع، تنتشر قرب مركز المنخفض السطحي خلايا من السحب الحملية العميقية (المشار إليها CON في

**شكل - 10**

صور الأمسية تحت GOES من الحمراء من يوضح تولد المنخفض مع الترق المفاطح و التدفق المتشتت فوق المحيط الهادئ

من 28 - 30 نوفمبر 1987.

a) ت.ع 23:45 يوم 28.

b) ت.ع 07:45 يوم 29.

c) ت.ع 13:45 يوم 29.

d) ت.ع 19:45 يوم 29.

e) ت.ع 02:45 يوم 30.

الأرصاد الجوية - العدد ٥٧

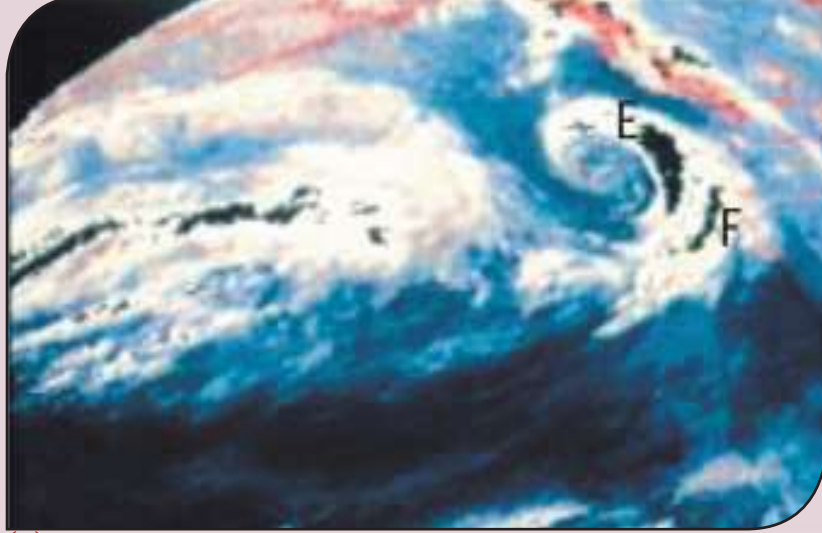
## المراجع:



(c)



(d)



(e)

- M. J. Bader, G. S. Forbes, J. R. Grant, R. B. E. Lilley, A. J. Waters. (1995): Images in weather forecasting -A practical guide for interpreting satellite and radar imagery-. Great Britain the University Press, Cambridge.
- Marshall, T. A. (1982) Weather Satellite Picture Interpretation (London, Directorate of Naval Oceanography and Meteorology, Ministry of Defense).
- McLennan, N. and L. Neil (1988): Marine bombs program (phase II). Pacific Region tech. note 88002-.
- Young, M. V. (1993): Cyclogenesis: interpretation of satellite and radar images for the forecaster. Forecasting Research division tech. report 73 (Bracknell, UK, Meteorological Office), unpublished.

# الدورة الهوائية العامة للرياح



د/ كمال فهمي محمد

كبير باحثين بالإدارة المركزية للتدريب  
المراجعة العلمية  
د. أشرف صابر زكي

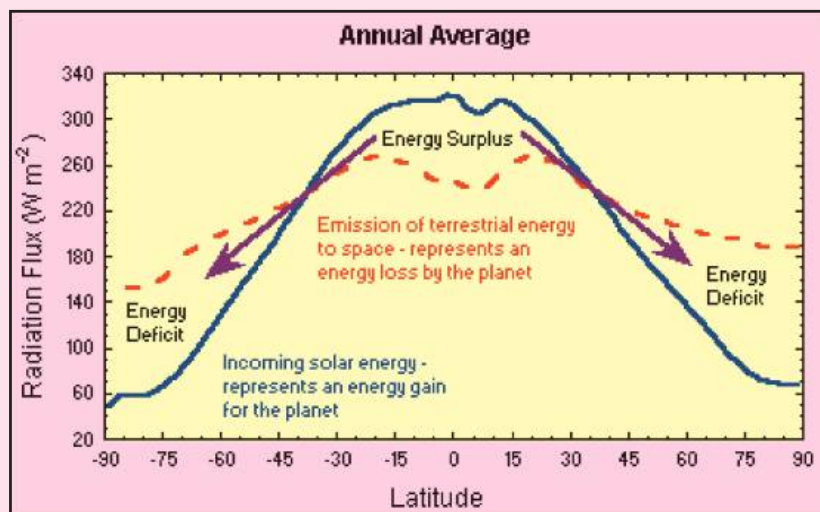
٩٩

مقدمة

قال الله تعالى (إِنَّ فِي خَلْقِ السَّمَاوَاتِ وَالْأَرْضِ وَآخْتِلَافِ اللَّيْلِ وَالنَّهَارِ وَالْفُلْكِ الَّتِي تَجْرِي فِي الْبَحْرِ بِمَا يَنْفَعُ النَّاسَ وَمَا أَنْزَلَ اللَّهُ مِنَ السَّمَاءِ مِنْ مَاءٍ فَأَحْيَا بِهِ الْأَرْضَ بَعْدَ مَوْتِهَا وَبَثَ فِيهَا مِنْ كُلِّ دَابَّةٍ وَتَصْرِيفِ الرِّيَاحِ وَالسَّحَابِ الْمُسَخَّرِ بَيْنَ السَّمَاءِ وَالْأَرْضِ لَآيَاتٍ لِقَوْمٍ يَعْقِلُونَ) (سورة البقرة: ١٦٤).

ترتبط حياة الكائنات الحية ارتباط وثيق بدورة الهواء على سطح الأرض والتي تمثل في اتجاهات الرياح واحزمة المطر واشكال الغطاء النباتي من غابات إلى صحاري على كوكب الأرض وبدوره أدى إلى تنوع النشاطات البشرية وأماكن تجمعها وجودة الحياة والوصول لاكتفائتها من الماء العذب والغذاء.

٦٦



شكل ١ يوضح المتوسط السنوي حول دوائر العرض للتوازن بين الإشعاع الشمسي الممتص على الأرض (باللون الأزرق) والأشعة خت الحمراء الصادرة من الأرض إلى الفضاء (باللون الأحمر).

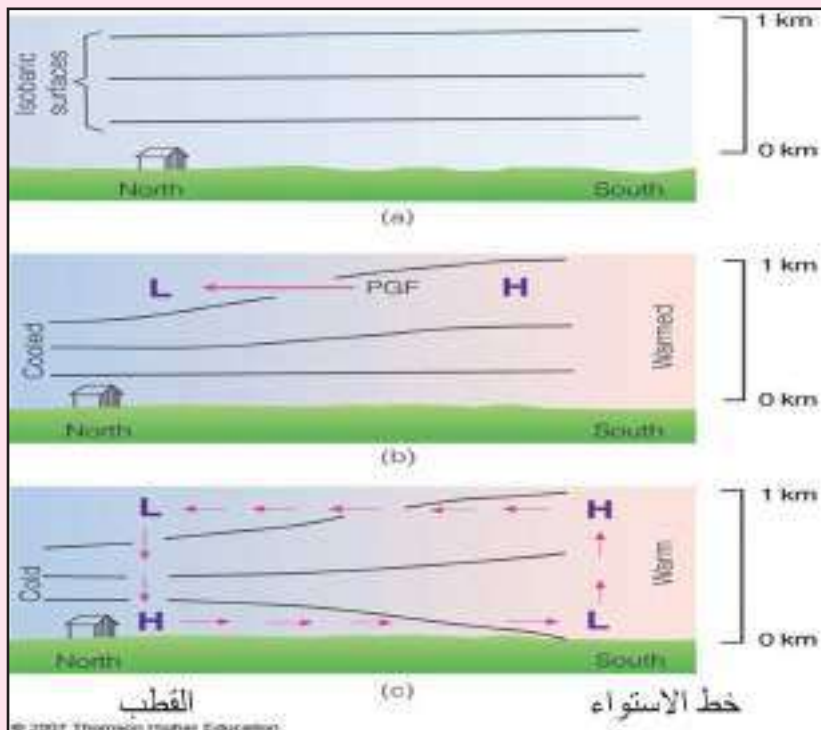
وب سبحان من له الملك لن تستمر منطقة خط الاستواء في ارتفاع حرارتها بصورة مستمرة ولا القطبين تنخفض حرارتهما بصورة مستمرة، لذا لزم وجود آلية لتوزيع الطاقة من مناطق خط الاستواء حتى القطبين وقد كان بواسطة الدورة الهوائية العامة للرياح والتيارات البحرية بالمحيطات ويجب أن يكون هناك اتزان كامل على مستوى كوكب الأرض ككل وليس بالضرورة عند كل خط عرض.

### مبادئ يجب معرفتها

١- الرياح تنشأ كنتيجة للتسخين الغير متساوي على سطح الأرض حيث تتكون على المناطق الباردة مرتفع جوي بينما يتكون على المناطق الألساخ منخفض جوي يؤدي إلى نشأة حركة للهواء من مناطق الضغط المرتفع إلى مناطق الضغط المنخفض بسبب ما يسمى بقوة منحدر الضغط.

٢- تدور الأرض حول نفسها مما تسبب انحراف لاتجاه الرياح يمرين مسارها في نصف الكرة الشمالي ويسار مسارها في نصف الكرة الجنوبي، وقوة الانحراف هذه تسمى بقوة كوروليوس (Coriolis) وهذه القوة غير موجودة عند خط الاستواء وأعلى ما يمكن عند القطبين.

٣- في طبقات الجو العليا تتنز حركة الرياح بتأثير قوى منحدر الضغط وقوة كوروليوس وتكون حركة الرياح في اتجاه موازي لخطوط الكونتور (خطوط تساوي الارتفاعات) بينما على سطح الأرض تدخل قوة أخرى في الموازنة وهي قوة الاحتكاك مما يجعل الهواء يتقارب حول



شكل ٢

وتنشا قوة منحدر الضغط الجوى لتحرك الهواء من القطبين فى اتجاه خط الاستواء وذلك على سطح الأرض.

٢- يرتفع الهواء عند خط الاستواء إلى أعلى مكوناً مرتفع جوى في طبقات الجو العليا عند خط الاستواء بينما عند القطبين يتكون منخفض جوى في طبقات الجو العليا ويسبب ذلك في نشوء الجو العليا قوة منحدر الضغط لتحرك الهواء في طبقات الجو العليا من عند خط الاستواء إلى القطبين كما في الشكل ٣.

ووجدت بعض الصعوبات في اعتماد هذه الدورة حيث إنها أهملت وضعية فصول السنة والتى تسبب اختلاف كمية الإشعاع التى تصل إلى سطح الأرض زمنياً ومكانياً، أيضاً دوران الأرض حول نفسها مما سبب انحراف لاتجاه الهواء، أيضاً

المنخفضات بينما يتبعون عند المرتفعات الجوية.

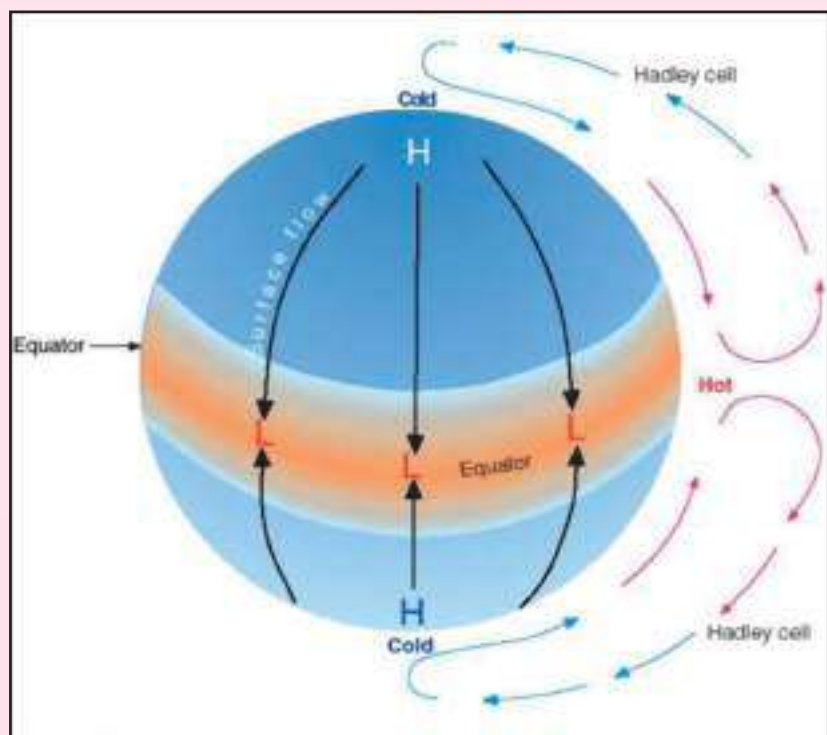
٤- دور الدورة الهوائية العامة للرياح هو نقل وإعادة توزيع الطاقة على سطح الأرض.

### الدورة الحرارية (نموذج

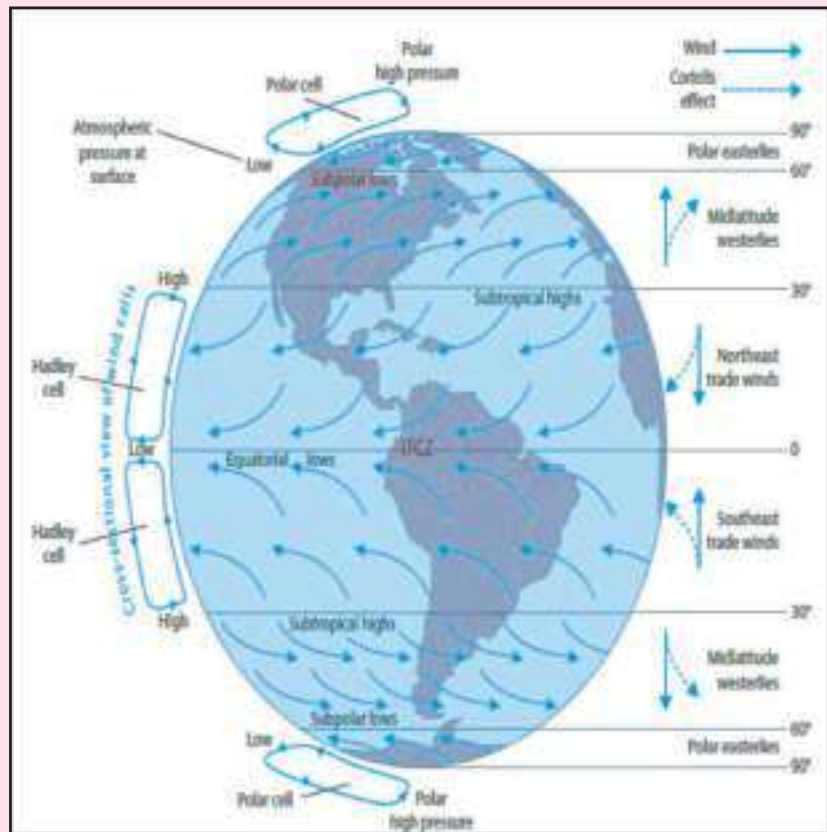
#### الخلية الواحدة) شكل ٢

توجد بعض التعييدات فى تفسير الدورة الهوائية العامة للرياح كما هو الواقع فى الحقيقة.

١- تستقبل الدائرة الاستوائية إشعاع شمسي أكثر من الدائرة القطبية كما أن القطب مغطى بالثلوج التي تعمل على ارتداد معظم الإشعاع الشمسي، الملخص أن حرارة المناطق الاستوائية أعلى من المناطق القطبية. ويكون عند خط الاستواء منخفض جوى يصاحبه حركة رأسية للهواء صاعدة بينما عند القطبين حيث بروادة الهواء فيتكون مرتفع جوى.



شكل ٣



الرياح على سطح الأرض (شكل ٤)

تبين سطح الأرض بين ماء وياس.

### نموذج الخلايا الثلاثة

هذا النموذج يحاكي الدورة الحرارية بالإضافة إلى قوة كوروليوس والتي تحرف اتجاه الرياح يمين مسارها في نصف الكره الشمالي ويسار مسارها في نصف الكره الجنوبي ومنعدمة عند خط الاستواء وتزداد كلما اتجهنا إلى القطبين. ويبقى على عدم تبین سطح الأرض اعتباره كله ماء والشمس عمودية باستمرار على خط الاستواء.

في هذا النموذج تتكون ٣ خلايا:

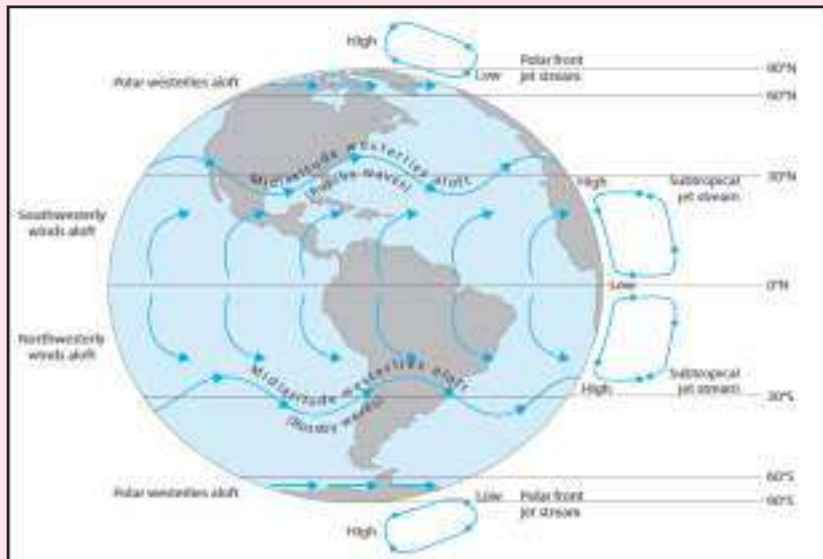
#### ١- خلية هادلي (٣٠-٠)

وهي خلية حرارية حيث تسقط أشعة الشمس عمودية على خط الاستواء وترتفع الحرارة ليصعد الهواء إلى أعلى مكوناً منخفضات جوية على سطح الأرض والتي بدورها تكون حزام من السحب (غالباً رعدية) يعرف بـ ITCZ. ويهبط هذا الهواء تحت عرض ٣٠° مكوناً مرتفع جوي تحت مداري ويتحرك الهواء على سطح الأرض بفعل قوة منحدر الضغط من عند خط عرض ٣٠° إلى اتجاه خط الاستواء منحرف باتجاه الغرب بسبب تأثير قوة كوروليوس مكون الرياح التجارية (شمالية في نصف الكره الشمالي بينما جنوبية شرقية في نصف الكره الجنوبي).

#### ٢- الخلية القطبية (٩٠ - ٦٠)

وهي خلية حرارية أيضاً حيث تقل كمية الإشعاع الشمسي الساقط عند القطبين بسبب ميل أشعة الشمس وأيضاً الانعكاسية العالية للثلوج المغطية سطح الأرض تسبب انخفاض في الحرارة وزيادة لكتافة الهواء، ووجود حركة هابطة للرياح

مسببة وجود مرتفع جوى عند سطح الأرض فى القطبين ومنخفض جوى فى طبقات الجو العليا. ويعمل المرتفع الجوى على سطح الأرض على تشتت الهواء بعيدا عن القطبين فى اتجاه خط الاستواء ليتقابل مع الهواء القادم من اتجاه خط الاستواء عند خط عرض ٦٠. وبسبب قوة كوروليوس تكون رياح شرقية من القطبين في اتجاه خط عرض ٦٠ (شمالية شرقية في نصف الكرة الشمالي بينما جنوبية شرقية في نصف الكرة الجنوبي).

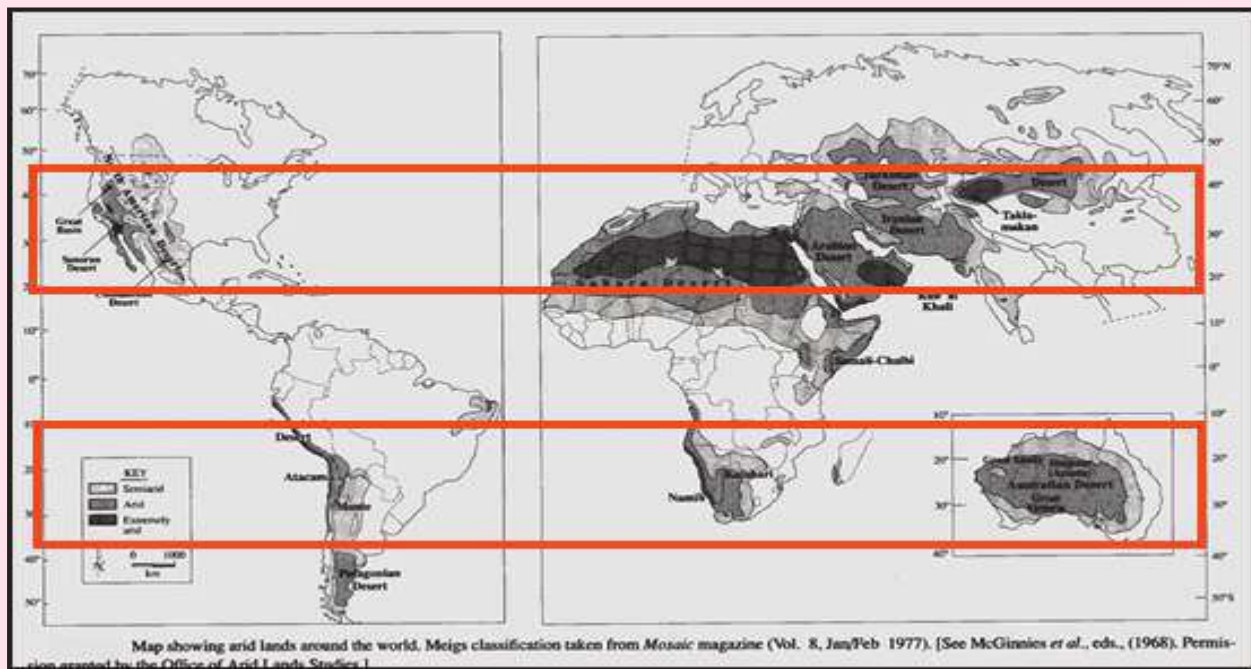


الرياح في طبقات الجو العليا (شكل ٥)



خرائط توزيعات الضغط والرياح (شكل ١)





(شكل ٧)

وحركة الشمس. يزيد الاختلاف في نصف الكرة الشمالي عن الجنوبي بسبب زيادة نسبة اليابس عنه في نصف الكرة الجنوبي.

فمثلاً موقع مرتفع سيبيريا الجوى في فصل الشتاء يصبح منخفض جوى في فصل الصيف بسبب إزاحة تعادم الشمس شمالاً في فصل الصيف على مدار السرطان، كذلك وجوده على الأرض وتبين الحرارة الواضح على الأرض عنه في الماء حيث تزيد الحرارة صيفاً على الأرض ليساعد على تكون منخفض جوى أقوى مما هو عليه فوق الماء، بينما تقل الحرارة شتاءً على الأرض ليساعد تكون مرتفع جوى عنه في الماء.

٢- توزيع الصراء مرتبط بالدورة الهوائية العامة للرياح حيث تنتشر في مناطق المرتفعات الجوية حيث استقرار الطقس وندرة الأمطار حول خط عرض ٣٠ شمالاً وجنوباً (شكل ٧).

نتيجة تراكم الهواء الصاعد، بينما يتكون منخفض جوى عند القطبين. ولذلك ستتعكس اتجاه الرياح لتكون، مثلاً في نصف الكرة الشمالي، جنوبى إلى جنوبى غربى

من خط الاستواء حتى ٣٠ لتصبح غربيات كلما اقتربنا من القطب بسبب زيادة تأثير قوة كوروليوس وبالمثل في نصف الكرة الجنوبي. كما أشرنا سابقاً فإن توزيعات الضغط من خلال الدورة الهوائية العامة للرياح توضح:

- منطقة منخفضات جوية عند خط الاستواء (ITCZ).  
- منطقة مرتفعات جوية عند خط عرض ٣٠.

- منطقة منخفضات جوية عند خط عرض ٦٠.

- مرتفع جوى عند القطبين. ولكن من الشكل يتضح وجود:

١- اختلافات بسيطة عن توزيعات الضغط في نموذج دورة الهواء عن الواقع بسبب تباين سطح الأرض

#### ٤- خلية فرل (٢٠ - ٣٠)

وهي خلية حرارية غير مباشرة وفيها يتشتت الهواء من المرتفع الجوئ تحت المدارى عند خط عرض ٣٠ في اتجاه خط الاستواء والقطبين مكوناً رياح جنوبية شرقية من خط عرض ٣٠ في اتجاه خط عرض ٦٠ على سطح الأرض وبالتالي يصبح خط عرض ٦٠ هو منطقة تجمع للرياح الشمالية الغربية الآتية من القطب الشمالي والجنوبية الشرقية الآتية من خط عرض ٣٠ أى عند خط عرض ٦٠ منطقة منخفضات جوية تحت خط عرض ٣٠.

نلاحظ أن اتجاه قوة منحدر الضغط تتعكس في طبقات الجو العليا عنها على سطح الأرض. لأنه عند سطح الأرض يتكون منخفض جوى عند خط الاستواء في حين مرتفع جوى عند القطبين بينما في طبقات الجو العليا يتكون مرتفع جوى عند خط الاستواء

# دراسة مناخ مصر دراسة تغير مناخ مصر إلى أين؟

## ملخص البحث



إعداد

عزيزة سليمان علي جمعة  
أخصائي أول بإدارة الإحصاء  
المراجعة العلمية:  
د. عبدالله عبد الرحمن عبدالله

فى هذا البحث تم عمل دراسة حديثة لدراسة مناخ مصر فى الفترة من عام ١٩٤٨ إلى عام ٢٠١٨ ولقد استخدمت البيانات الشهرية للعناصر الجوية عند سطح الأرض وأيضاً فى طبقات الجو العليا لمستوى ٥٠٠ هكتابسكال للوقوف على تغيرات هذه العناصر الجوية خلال فترة الدراسة. كما تم دراسة ارتباط مناخ مصر بالتغييرات العالمية الحادثة فى درجة الحرارة من خلال الاحتياج العالمى للكوكب الأرض فى الفترة من عام ١٩٤٨ إلى عام ٢٠١٧ وشملت هذه الدراسة فى هذا البحث كامل حدود مصر من خط عرض ٢٣ و حتى خط عرض ٣٢ شمالي ومن خط طول ٢٥ درجة الى ٣٦ درجة شرقاً. وتم تحليل ودراسة العلاقة بين العناصر المناخية فى مصر والاحتياج العالمى للكوكب الأرض باستخدام طريقة الارتباط الخطى باستخدام طريقة مونتوكارلو للارتباط الخطى. ولقد أظهرت النتائج بخلاف حدوث تغيرات مناخية فى مناخ مصر فى العقود الأخيرين وأن هذه التغيرات ما زالت مستمرة إلى الآن. كما بيّنت النتائج ارتباط التغيرات التى تحدث فى مناخ مصر ارتباطاً وثيقاً بالاحتياج العالمى للكوكب الأرض.

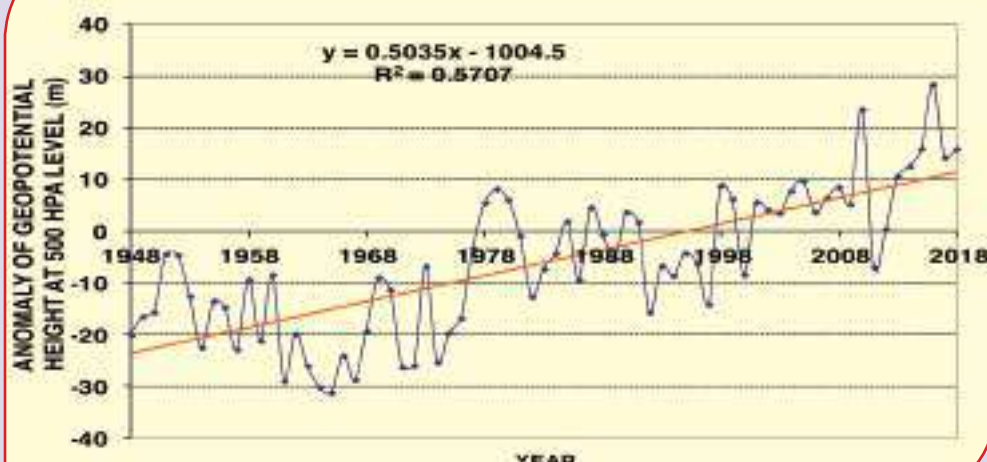
## ١- مقدمة

إن مناخ مصر له طبيعته الخاصة نظراً لموقع مصر الجغرافي وأيضاً طبيعة مناخ المناطق المجاورة. ومناخ مصر يتاثر بمناخ المناطق المدارية جنوباً وبمناخ البحر المتوسط شمالاً. فمناخ المناطق الجنوبية لمصر يبعد مناخ صحراء بينما مناخ المناطق الشمالية يعتبر مناخاً معتدلاً نسبياً لوجود مصر في منطقة شرق البحر المتوسط. فنظم الطقس وحالة الجو تتبادر بشدة في منطقة شرق البحر المتوسط. وهذا التباين في حالات الطقس يرجع إلى اختلاف طبيعة سطح الأرض بين يابس وماء وأيضاً اختلاف الطبيعة الجبلية بين شمال منطقة البحر المتوسط وجنوبه مرجع «١». ويظهر هذا التباين في حالة الجو جلياً في مناخ مصر من فصل إلى فصل آخر مرجع (٢). ولقد أظهرت الدراسات السابقة أن فصل الخريف في مصر يعتبر من أكثر فصول السنة اضطراباً في حالة الطقس مرجع «٤». ففي السنوات الأخيرة كثرة الأضطرابات في حالة الطقس والمناخ مما أدى إلى ما يسمى بتدخل فصول السنة وحدوث ظواهر جوية أكثر حدة في مصر. وللتعرف على ما حدث من تغيرات في مناخ مصر وجب علينا عمل دراسة حديثة لمناخ مصر للوقوف على هذه التغيرات وأسبابها مما يساعدنا في فهم دور التغيرات العالمية في مناخ الأرض وتاثيراتها في مناخ مصر.

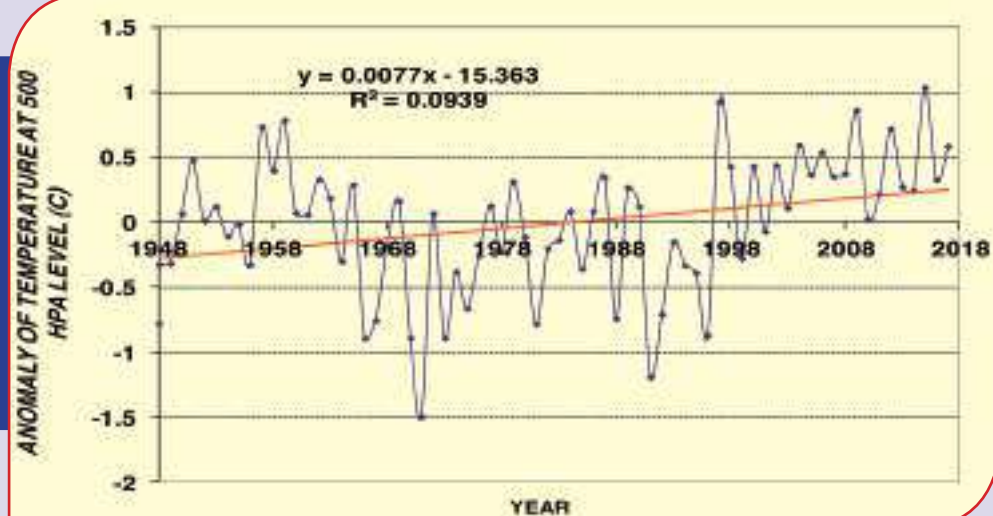
## ٢- البيانات والطريقة المستخدمة في الدراسة

- ٢-١ دراسة العناصر المناخية فوق مصر في الفترة من ١٩٤٨ إلى ٢٠١٨**
- تم دراسة الشذوذ في عناصر الطقس والمناخ فوق مصر خلال الفترة من ١٩٤٨ إلى ٢٠١٨ وأظهرت النتائج ما يلي:
- ١- حدوث تغير في قيم الارتفاع الجهد ارضي عند مستوى ٥٠٠ ميليارد فوق مصر من عام إلى عام آخر خلال فترة الدراسة. ويميل اتجاه التغير إلى الزيادة عن معدلها السنوي وبخاصة خلال الفترة الزمنية من عام ٢٠٠٠ وحتى عام ٢٠١٨ **أنظر شكل ١**
  - ٢- حدوث ارتفاع في درجات الحرارة عن معدلاتها السنوية فوق مصر بدءاً من عام ١٩٩٥ وحتى عام ٢٠١٨ على وجه العموم عند مستوى ٥٠٠ ميليارد. ويميل اتجاه تغير درجة الحرارة نحو الارتفاع في فترة الدراسة من عام ١٩٤٨ وحتى ٢٠١٨ كما هو موضح في الشكل **٢**
  - ٣- يقل معدل هطول المطر السنوي فوق مصر على وجه العموم خلال فترة الدراسة حيث أن اتجاه ميل التغير في كميات الأمطار يميل إلى الانخفاض الطفيف خلال الفترة من ١٩٤٨ وحتى ٢٠١٨. كما هو واضح من الشكل **٣**
  - ٤- يميل اتجاه تغير الضغط الجوي عند مستوى سطح البحر فوق مصر نحو الارتفاع عن معدلاته المناخية. **انظر شكل ٤**
  - ٥- يزداد ارتفاع درجات الحرارة عن معدلها السنوي عند مستوى ١٠٠٠ ميليارد وبخاصة بدءاً من عام ٢٠٠٢ وحتى ٢٠١٨ واتجاه التغير السنوي في درجة الحرارة يميل إلى اتجاه الزيادة عن معدلها. كما هو مبين في شكل **٥**.

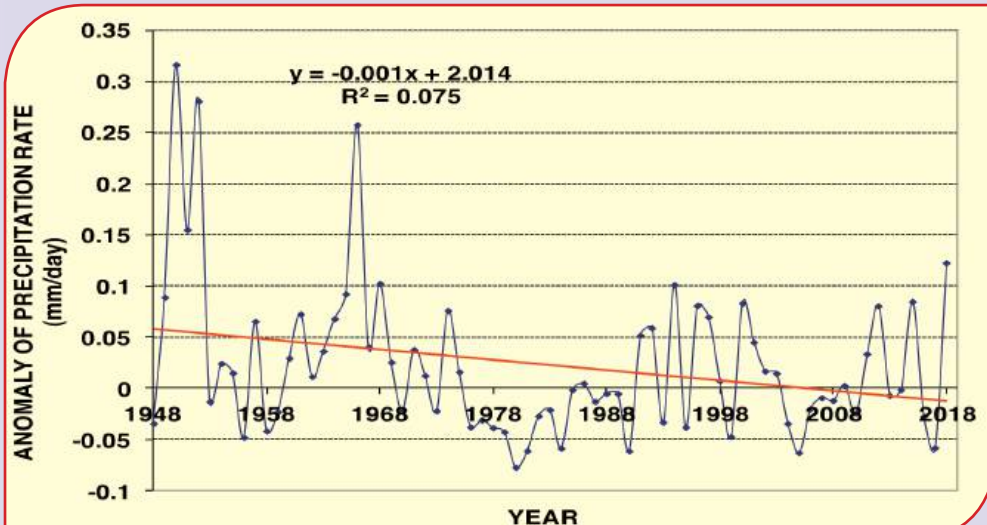
في هذه الدراسة تم استخدام البيانات الشهرية «لتحليل البيانات النسبية لنسبي. انكار» (NCEP / NECR) للعناصر المناخية من درجات الحرارة ومعدلات هطول المطر بالإضافة إلى الضغط الجوي فوق مصر في أشهر السنة المختلفة بدءاً من شهر يناير وحتى شهر ديسمبر خلال الفترة ١٩٤٨ - ٢٠١٨. وهذه البيانات ممثلة على شكل نقاط شبكية كل منها  $2.5 \times 2.5$  درجة خط طول وخط عرض. والنطاق المستخدم لهذه البيانات هو ٢٢,٥° إلى ٣٢,٥° درجة خط عرض و ٢٥° إلى ٣٧,٥° درجة خط طول. والنطاق المستخدم في هذه الدراسة عبارة عن شبكة من العناصر المناخية «شبكة ٦.٥° × ٦.٥° شبكة NOAA/OAR / ESRL PSD, Boulder, Colorado, USA». واستخدمت طريقة الشذوذ في دراسة تغير العناصر المناخية. والمعدل المناخي لعناصر الطقس المستخدمة في الدراسة الحالية أخذت للفترة ١٩٨١-١٩٨١. وكذلك تم استخدام القيم الشهرية لقيم الاحترار العالمي لكوكب الأرض من وكالة الفضاء الأمريكية ناسا NASA. وتم تحليل ودراسة العلاقة بين العناصر المناخية في مصر والاحترار العالمي لكوكب الأرض باستخدام طريقة الارتباط الخطى باستخدام طريقة مونتوكارلو لارتباط الخطى «مرجع ٥».



شكل (١) يبين  
الشذوذ في الارتفاع  
جهد ارضي عند  
المستوى الضغطى  
٥٠٠ ميلبار سنويا  
وأيضاً اتجاه ميله  
فوق مصر في الفترة  
الزمنية  
٢٠١٨ إلى ١٩٤٨



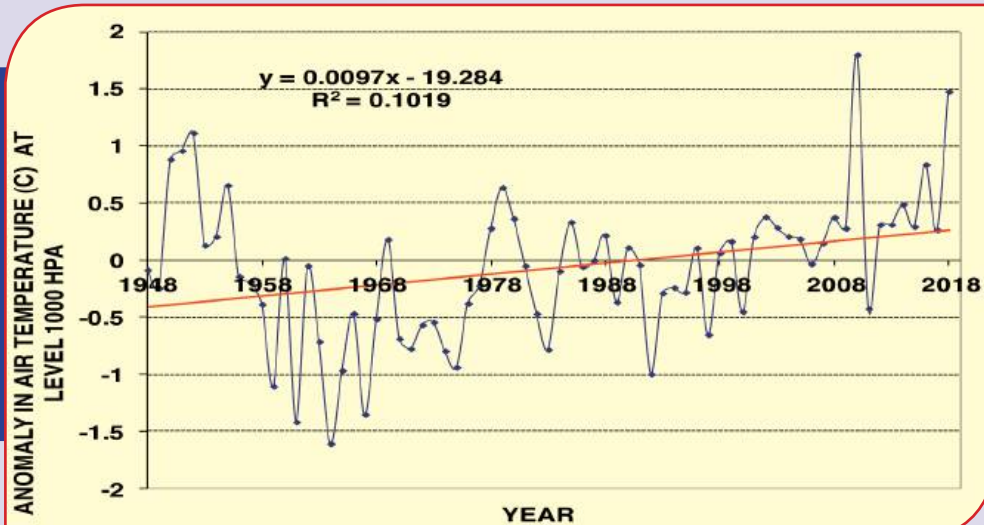
شكل (٢) يبين  
الشذوذ في الارتفاع  
جهد ارضي عند  
المستوى الضغطى  
٥٠٠ ميلبار سنويا  
وأيضاً اتجاه ميله  
فوق مصر في الفترة  
الزمنية  
٢٠١٨ إلى ١٩٤٨



شكل (٣) يبين  
الشذوذ في معدلات  
هطول الامطار سنويا  
وأيضاً اتجاه ميلها  
فوق مصر في الفترة  
الزمنية  
٢٠١٨ إلى ١٩٤٨



شكل (٤) يبين  
الشذوذ في الضغط  
الجوى عند مستوى  
سطح البحر سنوياً  
وأيضاً اتجاه ميله  
فوق مصر في الفترة  
الزمنية  
من ١٩٤٨ إلى ٢٠١٨



شكل (٥) يبين  
الشذوذ في درجات  
الحرارة عند المستوى  
الضغطى ١٠٠٠  
مiliبار وأيضاً اتجاه  
ميلها فوق مصر في  
الفترة الزمنية  
من ١٩٤٨ إلى ٢٠١٨

عن معدلاتها السنوية فوق مصر  
عند مستوى ٥٠٠ ميليبار والاحترار  
العالمى للكوكب الأرض حيث بلغ  
معامل الارتباط إلى «٦٠،٠٦+» كما هو  
موضح فى الشكل «٧»

٣- العلاقة بين معدل هطول  
المطر السنوى فوق مصر والاحترار  
العالمى للكوكب الأرض علاقة عكسية.  
ووصل معامل الارتباط لهما إلى  
«٤٠،٠٤-» كما هو واضح من الشكل «٨»

٤- توجد علاقة طردية قوية  
بين تغير الضغط الجوى عند  
مستوى سطح البحر فوق مصر

للكوكب الأرض خلال الفترة من عام ١٩٤٨  
وحتى عام ٢٠١٧ وأظهرت هذه  
الدراسة النتائج الآتية:-

١- وجود علاقة طردية قوية  
بين حدوث تغير فى قيم الارتفاع  
الجهد أرضى عند مستوى ٥٠٠  
مiliبار فوق مصر والاحترار العالمى  
للكوكب الأرض خلال فترة الدراسة  
من ١٩٤٨ إلى ٢٠١٧ حيث وصل  
معامل الارتباط الى قيم تتراوح بين  
«٠٧+» و «٠٨+». انظر شكل «٦»

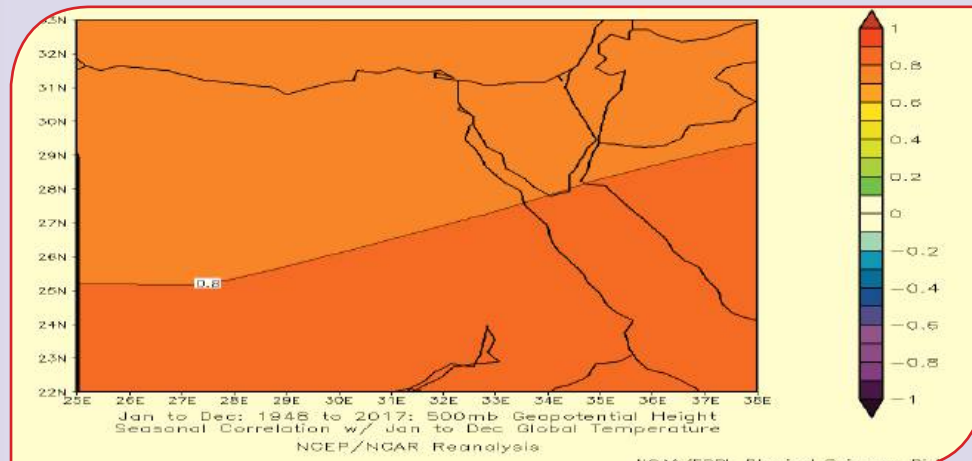
## ٢-٢ دراسة علاقة الارتباط بين مناخ مصر والاحترار العالمي للكوكب الأرض

نظراً لما بينته هذه الدراسة  
الحديثة لمناخ مصر من نتائج  
تؤكد حدوث تغيرات واضحة ومهمة  
في العناصر المناخية فوق مصر  
وبخاصة في العقودين الأخيرين  
كان لزاماً علينا البحث عن سبب  
تغير مناخ مصر في الآونة الأخيرة.  
وفي هذا الجزء من البحث تم عمل  
دراسة للوقوف على علاقة الارتباط  
بين مناخ مصر والاحترار العالمي

ويمكن القول وفقا لنتائج هذا البحث أن مناخ مصر قد تغير في العقود الآخرين وأن هذا التغير مرتبط ارتباطا وثيقا بالاحترار العالمي للكوكب الأرض.

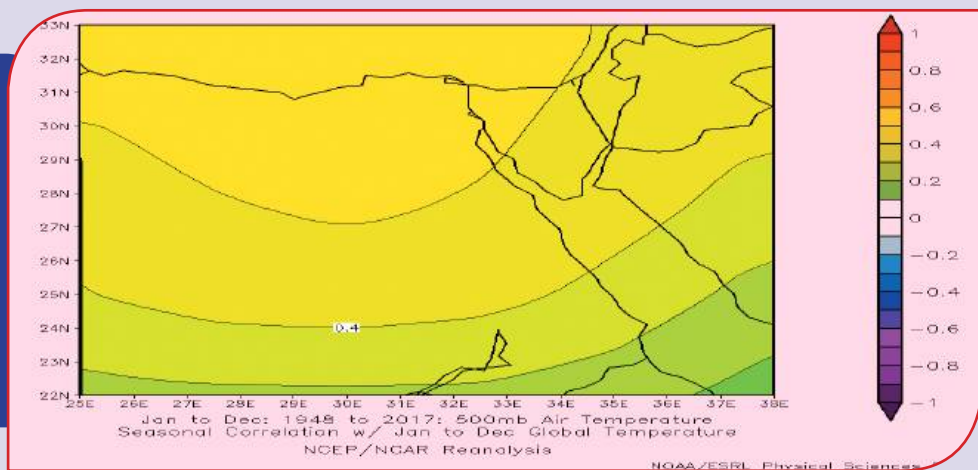
مستوى 1000 ميليبار ارتباطا طرديا قويا بالاحترار العالمي للكوكب الأرض خلال فترة الدراسة من 1948 وحتى 2017 ومعامل ارتباط بينهما وصل إلى «٠٦٤» كما هو واضح من شكل «١٠»

والاحترار العالمي للكوكب الأرض. ومعامل الارتباط بينهما وصل إلى «٠٦٧» <sup>٩</sup> «أنظر شكل ٥». يرتبط الارتفاع في درجات الحرارة عن معدلاتها السنوية عند

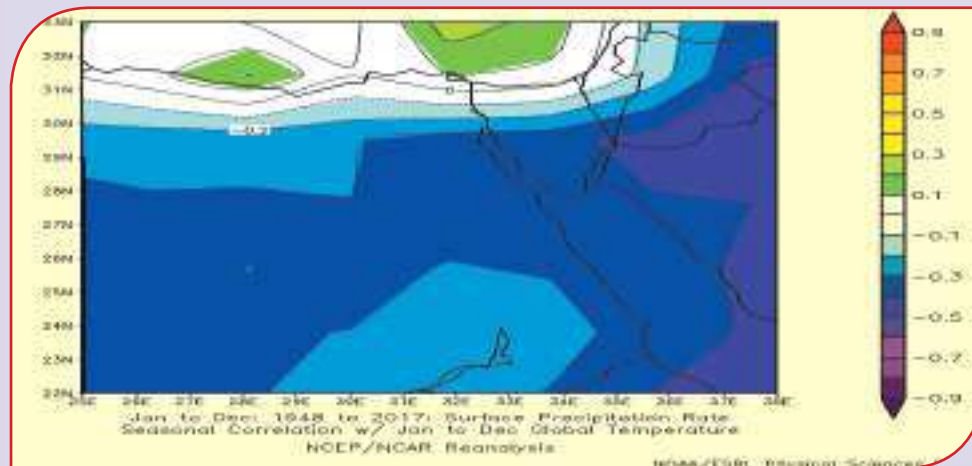


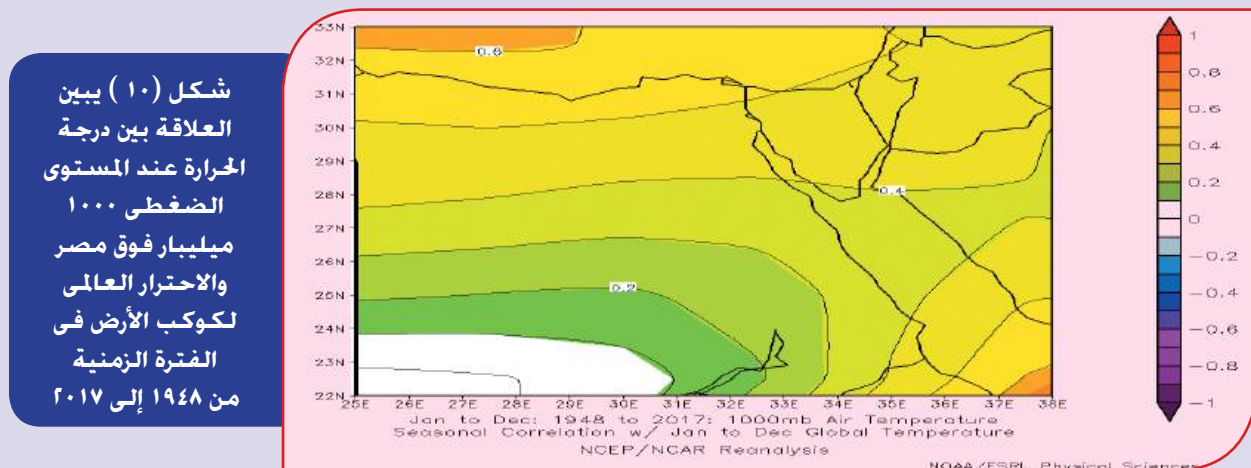
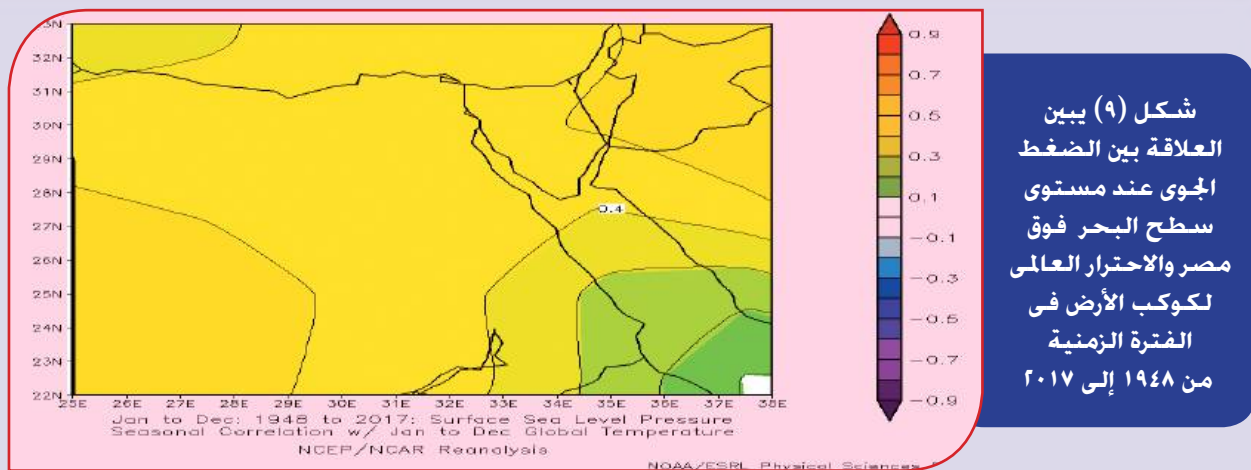
**شكل (١)** يبين العلاقة بين الارتفاع جهد أرضي عند المستوى الضغطي ٥٠٠ ميليبار فوق مصر والاحترار العالمي للكوكب الأرض في الفترة الزمنية من ١٩٤٨ إلى ٢٠١٧

**شكل (٧)** يبين العلاقة بين درجة الحرارة عند المستوى الضغطي ٥٠٠ ميليبار فوق مصر والاحترار العالمي للكوكب الأرض في الفترة الزمنية من ١٩٤٨ إلى ٢٠١٧



**شكل (٨)** يبين العلاقة بين معدل هطول الأمطار فوق مصر والاحترار العالمي للكوكب الأرض في الفترة الزمنية من ١٩٤٨ إلى ٢٠١٧





## المراجع

- (1) MedCLIVAR (2007) Mediterranean climate variability. report for the CLIVAR SSG15, 1115- September 2007, Geneva.
- (2) Hafez Y. (2018) A Recent Study of Seasonal and Interannual Climate Variability over the Eastern Mediterranean Region. Journal of Geoscience and Environment Protection, 6, 132151-. <https://doi.org/10.4236/gep.2018.61009>
- (٣) عزيزة سليمان على جمعة(٢٠١٨): دراسة حديثة للتغيرات المناخية الفصلية فوق مصر. مجلة هيئة الأرصاد الجوية العدد (٥٥) رقم الصفحات (٤٧-٤١)
- (٤) عزيزة سليمان على جمعة(٢٠١٩): دراسة العلاقة بين امطار فصل الخريف في مصر والمؤشرات المناخية العالمية. مجلة هيئة الأرصاد الجوية العدد (٥٦) ، رقم الصفحات (٣٦ - ٣٠).
- (5) Kalnay, E., Kanamitsu, M., Kistler, R., Collins, W., Deaven, D., Gandin, L., et al. (1996) The NCEP/NCAR 40 Year Reanalysis Project. Bulletin of the American Meteorological Society, 77, 437-471. [http://dx.doi.org/10.11750772.0\(1996\)0477-1520/.CO:2](http://dx.doi.org/10.11750772.0(1996)0477-1520/.CO:2)

## شكر

ويأمل المؤلف أن يشكر قسم العلوم الفيزيائية التابع لإدارة الوطنية للمحيطات والغلاف الجوى NOAA/OAR/ESRL PSD,) (Boulder, Colorado, USA لما قدمه من إشكال من موقعها على الإنترت على العنوان التالي: <http://www.esrl.noaa.gov/psd/> كما يشكر المؤلف وكالة الفضاء الأمريكية ناسا (NASA) لما قدمة من بيانات الاحترار العالمي للكوكب الأرضى

# ظواهر جوية عنيفة تجتاح العالم

## أين نحن؟؟



إيمان عبداللطيف شاكر

أخصائى أرصاد جوية ثان

إدارة الاستشعار عن بعد

الإدارة العامة للتحاليل

المراجعة العلمية: د. أشرف صابر زكي



### أمثلة على بعض الموجات العنيفة التي أثرت على دول مختلفة:

العاصفة ترابية تضرب جمهورية مصر العربية في فصل الشتاء:

شهدت كافة مدن ومحافظات جمهورية مصر العربية يوم الأربعاء ١٦ يناير ٢٠١٩ عاصفة ترابية اثرت على معظم المناطق كظاهرة عنيفة وغريبة في فصل الشتاء حيث من المعتمد ان تجتاح العواصف الترابية مصر عادة في فصل الربيع الامر الذي أدى إلى القول بأن التغيرات المناخية التي أثرت على العالم أجمع ومنه مصر هي السبب في تغيير الظواهر الجوية المختلفة على مدار الفصول. ومن الجدير بالذكر أنه قد تم التنبؤ بهذه العاصفة قبلها ب٧٢ ساعة واصدار بيان جوى يؤكد ذلك.

وتسربت العاصفة الرملية القوية، التي اجتاحت معظم المدن في مصر، بإعاقبة حركة الطيران وادت الى انخفاض مستوى الرؤية في مطار القاهرة الدولي ، مما أدى إلى تحويل بعض الرحلات وتأخير وصول عدد من الرحلات. كما أعلنت هيئة موانئ البحر الأحمر إغلاق مينائي السويس والزيتانيات بمحافظة السويس، نظراً لسوء الأحوال الجوية وشدة الرياح وارتفاع الأمواج، وكذلك موانئ البحر المتوسط ، حيث توقفت حركة الملاحة لأربعة أيام على التوالي في مينائي الإسكندرية والدخيلة بسبب سوء الطقس وارتفاع الأمواج وزيادة سرعة الرياح إلى الحد الذي يمنع دخول وخروج السفن من وإلى الأرصفة.

تشهد

دول عديدة من العالم ظواهر جوية عنيفة ومتطرفة من أمطار وسيول وعواصف ترابية وأيضاً فيضانات وأعاصير تستعرض هنا بعض الظواهر الحادة والعنيفة التي حدثت على بعض الدول وهل هذه الاضطرابات المناخية المتطرفة التي سادت فلسطين وسائر بلاد الشام ومصر والسعودية والمغرب العربي وأمريكا الشمالية وأستراليا تعزز الفرضية القائلة بأن الكرة الأرضية تقع تحت تأثير التغيرات المناخية الناجمة عن ارتفاع درجات الحرارة وتغير السلوك البيئي أم لا؟



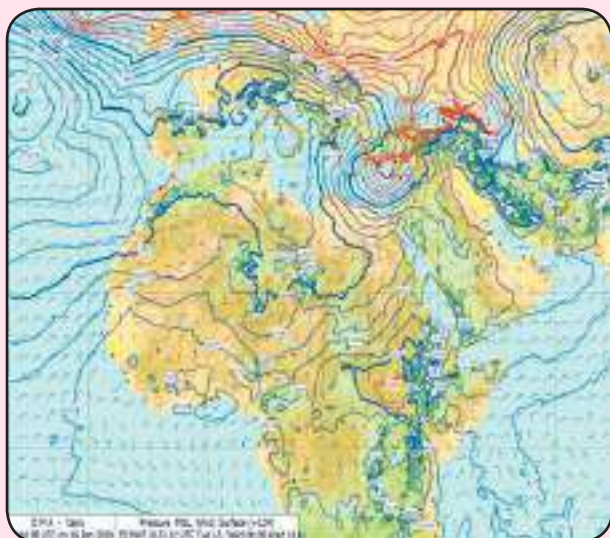
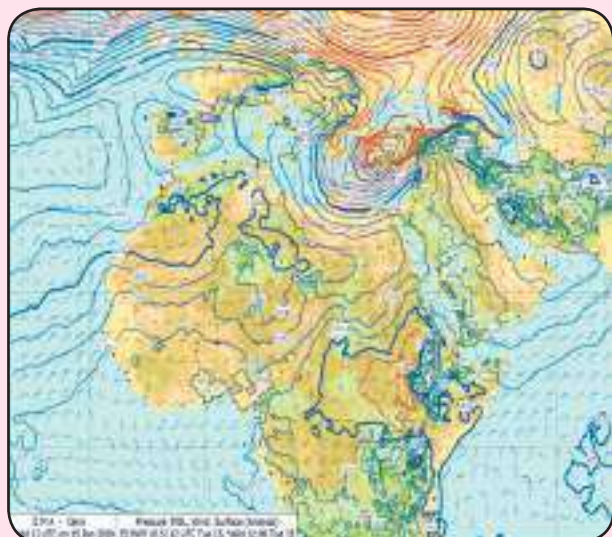
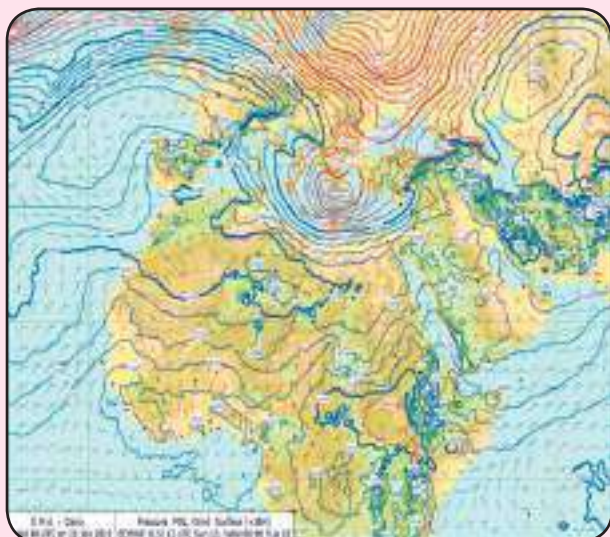
### تفسير هذه الحالة من الناحية الفنية:

#### أولاً خرائط التوزيعات الضغطية:

الجوى بداخله ووصلت الى  $1000 \text{ mb}$  ونلاحظ تزايد تقارب خطوط تساوى التوزيعات الضغطية مما ادى الى مزيد من سرعات الرياح الجنوبية الغربية وزيادة الرمال المثارة على شمال البلاد والقاهرة وفى توقيت  $1200$  تحديداً اى فى تمام الساعة الثانية ظهرا بالتوقيت المحلي زادت سرعات الرياح ووصلت حوالى  $30$  عقدة على القاهرة  $60 \text{ km / ساعة}$  تقريبا وهبت عاصفة رملية صفراء اللون نتيجة لزيادة سرعة الرياح المحملة بكميات كبيرة من الرمال قادمة من الصحراء الغربية واستمرت هذه العاصفة لمدة ساعتين تقريبا وبذلت تحف حدتها فى تمام الرابعة عصرا وأدى ذلك

تشير التوزيعات الضغطية يوم الثلاثاء  $15$  يناير  $2019$  للتوقيت إلى وجود منخفض جوى متعمق على البحر المتوسط وقيمة الضغط بداخل الخلية المقتوعة منه  $994 \text{ mb}$  متمركز على اليونان وجزيرة كريت ونلاحظ تقارب فى خطوط التوزيعات الضغطية اثرت بسرعات رياح عالية على البحر المتوسط على ليبيا والقطاع الشمالى الغربى لمصر ووصلت لاكثر من  $40$  عقدة مما ادى الى اضطراب حركة الملاحة البحرية وارتفاع الامواج الذى وصل الى  $6$  امتار تقريبا اما عن تأثير هذا المنخفض على مصر فنجد انه يؤثر برياح جنوبية غربية نشطة محملة برمال واتربة مثارة قادمة من الصحراء الغربية وكانت قيمة الضغط على السواحل الشمالية  $1010 \text{ mb}$  وعلى القاهرة  $1014 \text{ mb}$  وفي توقيت  $1200$  نجد ان المنخفض ازداد تعمقا ووصلت قيمة الضغط بداخل الخلية المقتوعة منه الى  $990 \text{ mb}$  وتحرك باتجاه الشمال الشرقي تجاه جنوب تركيا وازدادت سرعات الرياح على البحر المتوسط باتجاه الشرق ونتيجة لتعمق المنخفض الجوى وانخفاض القيم الضغطية على مصر ووصلها الى  $1008 \text{ mb}$  على السواحل الغربية  $1012 \text{ mb}$  على القاهرة ادى ذلك الى زيادة دخول نشاط الرياح الى المناطق الداخلية من البلاد مع زيادة الرمال المثارة.

اما فى توقيت يوم الاربعاء  $16$  يناير  $2019$  نجد ان المنخفض قد تحرك شرقا مع زيادة قيمة الضغط

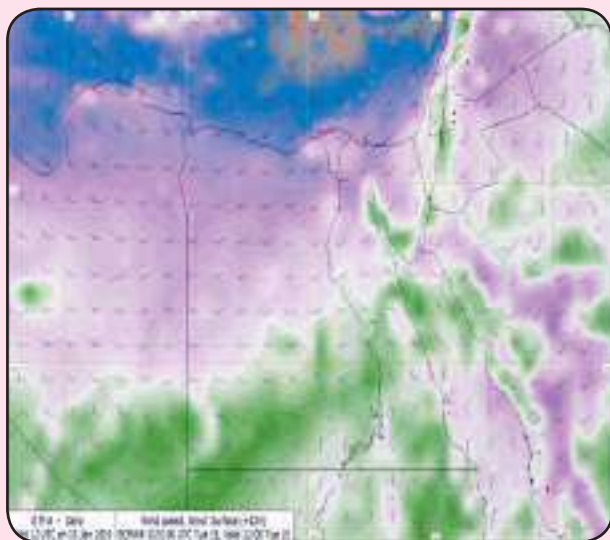
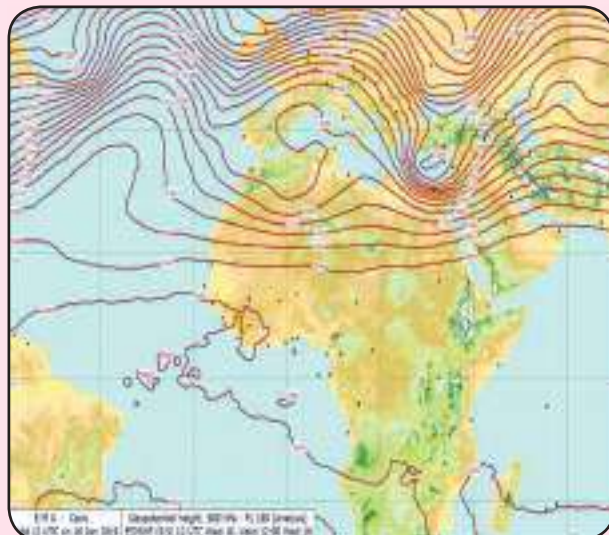
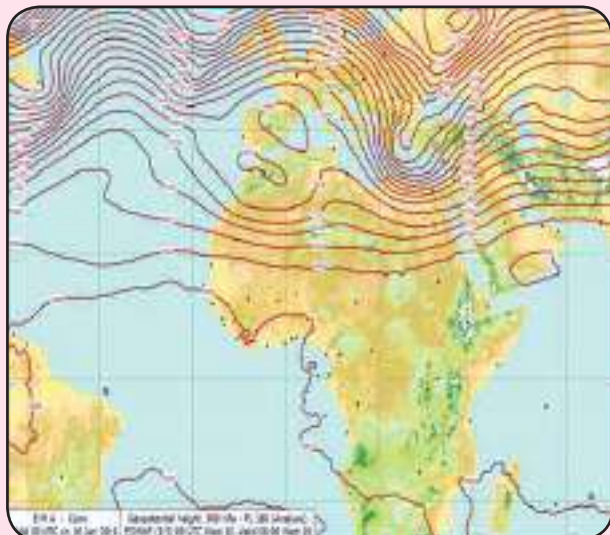


امتداد منخفض جوى فى طبقات الجو العليا مع المنخفض الموجود على السطح وكانت قيمة الارتفاع على السواحل الشمالية ٥٥٢ مترًا وعلى القاهرة ٥٦٠ مترًا ونلاحظ زيادة تقارب الخطوط وخاصة على البحر المتوسط وغرب البلاد مما عمل على زيادة الحرارة الراسية للرياح محمولة بكميات عالية من بخار الماء وفي توقيت ١٢٠٠ نلاحظ تحرك الخطوط جهة الشرق وزيادة تقاربها وتحديداً على منطقة جنوب الدلتا والقاهرة وكانت قيمة الارتفاع ٥٤٤ مترًا على السواحل وعلى القاهرة ٥٤٨ مترًا ونتيجة لزيادة تعمق المنخفض والتبريد الموجود في طبقات الجو العليا ادى ذلك إلى تطور السحب ونموها وسقوط الامطار الغزيرة والبرد على مناطق من السواحل الشمالية والدلتا والقاهرة.

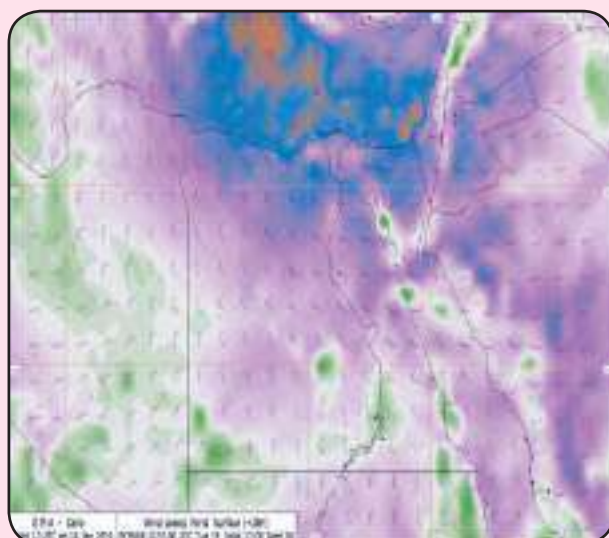
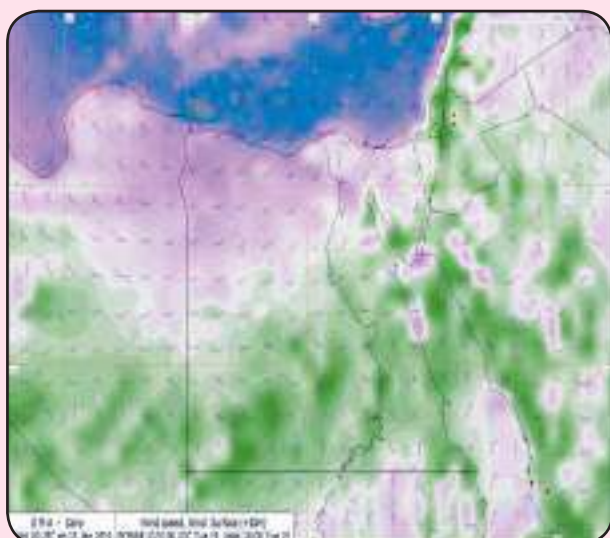
لتدحرج الرؤية الافقية على الطرق واضطراب في حركة الملاحة البحرية على البحرين الاحمر والمتوسط وأغلاق العديد من الموانئ . ايضاً صاحب ذلك سقوط امطار غزيرة وبرد على السواحل الشمالية للبلاد مثل الاسكندرية ومطروح وامتدت الى مدن ومحافظات الدلتا مثل البحيرة ودمنهور وكفرالشيخ ووصلت الامطار الى القاهرة بعد العاصفة الترابية في حوالي السادسة مساءً ثم شرق البلاد مثل دمياط والسويس ومناطق من سيناء .

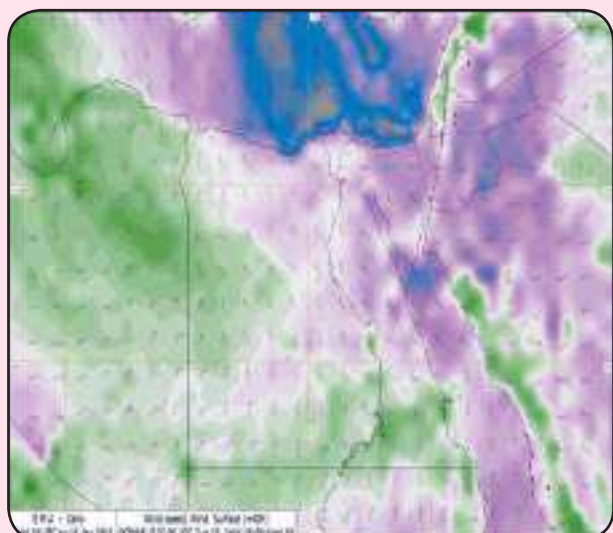
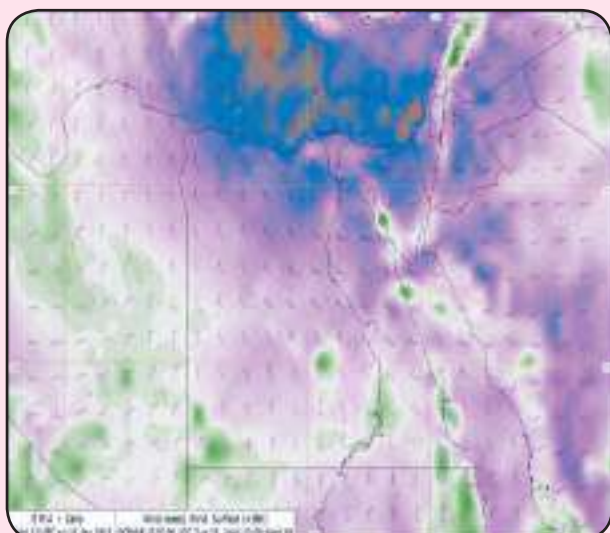
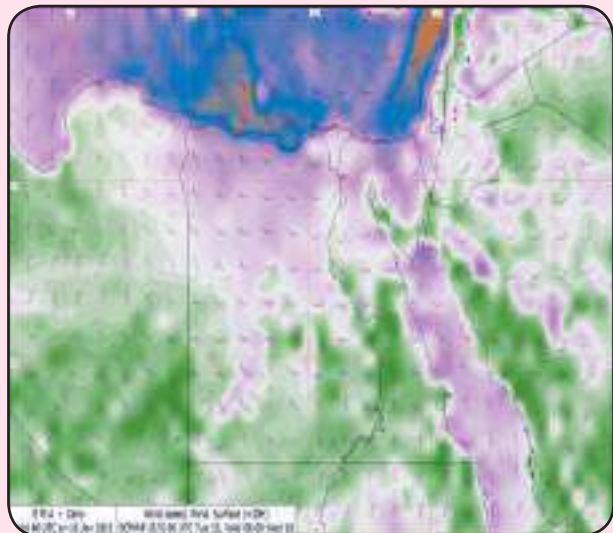
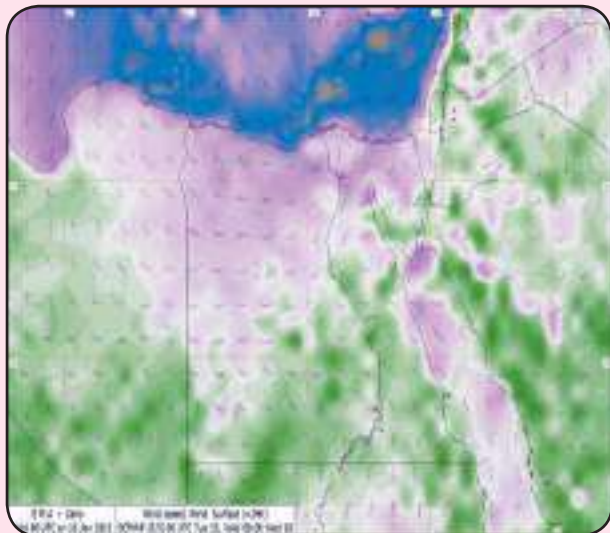
#### **خرايط طبقات الجو العليا:**

نلاحظ في خرائط طبقات الجو العليا hpa ٥٠٠ على ارتفاع ٥ كم من سطح الارض انه في توقيت ٠٠٠٠ ليوم الاربعاء الموافق ١٦ يناير ٢٠١٩ يتزامن وجود



**خريطة سرعات الرياح:**  
نلاحظ من خلال خرائط سرعات الرياح في توقيت 0000 اليوم الثلاثاء الموافق ١٥ يناير ٢٠١٩ ان اتجاه الرياح جنوبية غربية بسرعات عالية على البحر المتوسط وتصل سرعة الرياح الى أكثر من ٣٠ عقدة في عمق البحر وايضا تنشط على السواحل الشمالية للبلاد وفي توقيت ١٢٠٠ نجد ان سرعات الرياح قد زادت اكثر واشتدت على البحر المتوسط وامتد نشاط الرياح الى القاهرة والدلتا وشمال الصعيد ومناطق من سيناء واستمر ذلك في توقيت 0000 ليوم الاربعاء ١٦ يناير ٢٠١٩ وخاصة على شرق البحر المتوسط ثم في توقيت ١٢٠٠ نلاحظ ان سرعات الرياح قد زادت حدتها وتعمق نشاط الرياح للداخل اكثر مما ادى الى هبوب العاصفة الرملية في تمام الثانية ظهرا وانخفضت الرؤية الافقية لاقل من ٢٠٠ متر على القاهرة في مناطق عديدة من الجمهورية وادى ذلك لاغلاق العديد من الطرق والمطارات والموانئ البحرية.



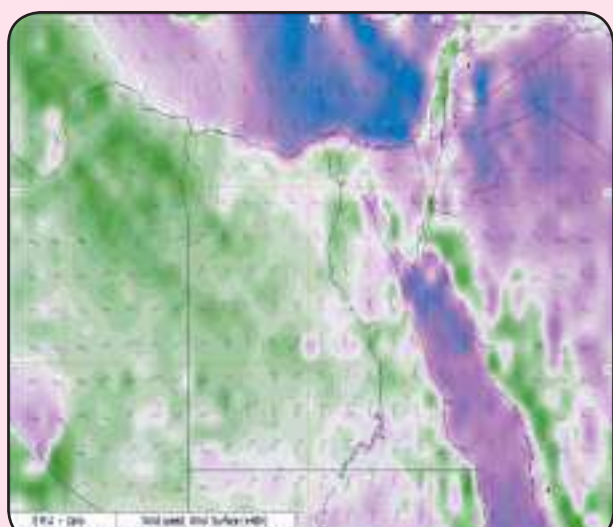


### **موجة من العواصف الرعدية والفيضانات والرياح القوية تضرب فلسطين:**

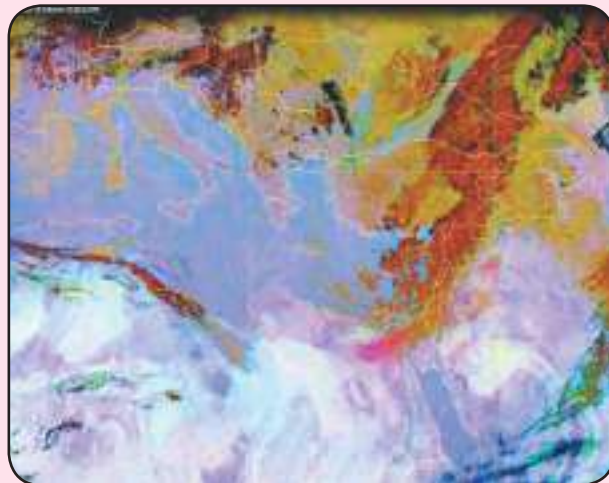
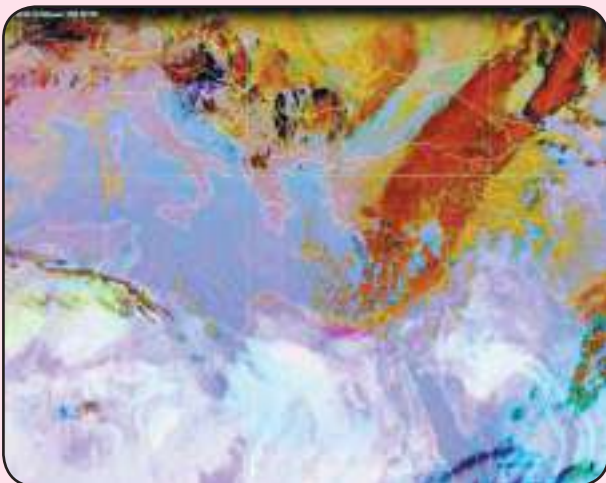
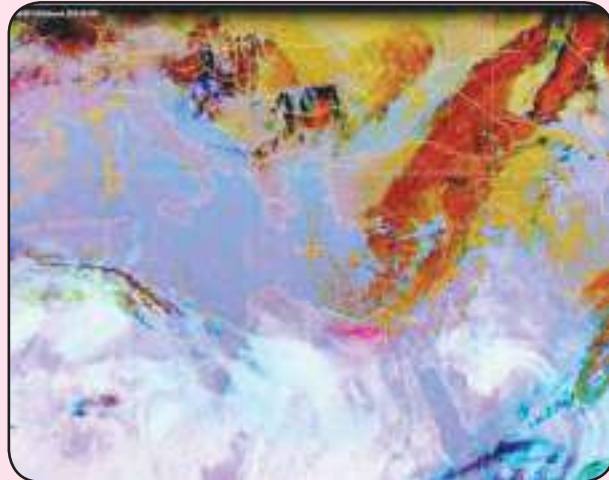
تعرضت فلسطين في ١٩ يناير ٢٠١٨ إلى رياح شديدة تزيد سرعتها على ١٠٠ كيلومتر في الساعة وهطول أمطار غزيرة في جميع أنحاء البلاد وتم إصدار تحذيرات من السيول في الجنوب، مع بدء هطول الأمطار في المنطقة وكان معدل الأمطار الساقطة في البلاد ما بين ٢٠٠-٦٠ ملم، ووصلت سرعة الرياح إلى ١٠٠ كيلومتر في الساعة.

### **خسائر مادية وبشرية وطوارئ جراء عواصف رعدية عنيفة اجتاحت دول بلاد الشام:**

تعرضت بلاد الشام في ٢٥ أكتوبر ٢٠١٨ بحالة جوية عاصفة وماطرة بغزارة وشدة كنتيجة لتشكل



## صور الأقمار الصناعية



انخفاض جوى فوق الحوض الشرقي للبحر المتوسط، أدى إلى تصادم كتل هوائية باردة ورطبة بأخرى دافئة، مما تسبب في نشوء حالة عنيفة من عدم الاستقرار في الجو، عملت على هبوب عواصف رعدية شديدة وتشكل سيول جارفة بمناطق عديدة من سوريا ولبنان والأردن وفلسطين. وشهدت عدة محافظات في سوريا عواصف رعدية عنيفة صاحبتها رياح هابطة قوية وتساقط البرد، بدأت من الساحل السوري ثم تعمقت نحو محافظات الداخل كحمص وحماده ودمشق وريفها، وتسببت في أضرار على مستوى الممتلكات المادية والزراعية، كما اجتاحت السيول الجارفة عدة مدن من بينها العاصمة دمشق.  
وايضا في الأردن نتيجة العواصف الشديدة والسيول

الجارفة، أعلنت السلطات حالة الطوارئ القصوى جراء الأمطار الغزيرة والتى تهطلت بقوية وفى وقت وجيز، وتم فقدان مجموعة من الطلاب والمدرسين كانوا فى رحلة مدرسية إلى البحر الميت بمنطقة الأغوار المنخفضة غرب المملكة، وتم وقوع وفيات جراء الفيضانات والصواعق المفاجئة.

وكذلك لبنان شهدت معظم نفس العواصف الرعدية الشديدة مع تساقط حبات كبيرة من البرد وبغزارة، مما تسبب في اقتلاع بعض الأشجار وقوع عدة خسائر مادية خاصة في زجاج المباني والمركبات، إضافة إلى أضرار جسيمة في الزراعة.

### نورماً عاصفة ثلجية تضرب سوريا والأردن ولبنان

وفي ١٦ يناير ٢٠١٩ وصلت عاصفة قطبية لدول الحوض الشرقي للبحر المتوسط مع تساقط الثلوج و العاصفة هوائية باردة وقطبية تم وصفها بالجبهة الثلجية عبرت الأردن الأمر الذي أدى إلى تساقط الثلوج وانخفاض درجات الحرارة.

وانخفضت الحرارة انخفاض حاد ومتواصل وكانت درجات الحرارة أقل من معدلاتها لمثل هذا الوقت من العام بحوالى ١٠ درجات مئوية.

وأدت العاصفة إلى هطول غزير للأمطار، يصاحبها عواصف رعدية وتساقط لزخات غزيرة من البرد، وتساقط الثلوج فوق المرتفعات الجبلية التي يزيد ارتفاعها عن ٩٠٠ متر عن سطح البحر.

### عواصف وأمطار تقتل ٦٦ شخصاً في الهند:

لقي ٦٦ شخصاً مصرعهم نتيجة عواصف ترابية وأمطار غزيرة وصواعق تعرضت لها مناطق كبيرة من الهند على نحو غير معتاد. وادى هبوب عواصف ترابية مصحوبة برياح قوية إلى اقتلاع أشجار من جذورها وتساقط أعمدة كهرباء وهبوط طائرات وتوقف قطارات في ولايات بشمال وشرق وجنوب الهند، بما في ذلك العاصمة نيودلهي. وبعد هبوب العواصف في هذا الوقت من العام، مع بداية موسم الأمطار في جنوب آسيا، أمراً عادياً، لكن الأحوال الجوية القاسية هذا العام والخسائر البشرية الناجمة عنها ليسا بالأمر المعتاد.

### السعودية من تزايد العواصف الترابية إلى الارتفاع



### الحاد في درجة الحرارة:

في المملكة السعودية حدث ظواهر غير متوقعة كان انخفاض درجات الحرارة إلى معدلات شتوية في فصل الصيف في بعض المناطق، وارتفاع الحرارة إلى معدلات صيفية في فصل الشتاء، وأكبر دليل على ذلك هي ظاهرة «تطليع» النخيل للمرة الثانية، فعلاقة النباتات بالمناخ علاقة وطيدة، وكل مناخ له نباتات معينة تتناسب مع وضعيته، والنخلة من النباتات الصحراوية التي تشتهر بها الجزيرة العربية، ولا «تطليع» النخلة إلا مرة واحدة في السنة، وفي حالة نادرة جداً ربما يطليع بعض النخيل مرتين في السنة وهذه السنة حدثت هذه الظاهرة على مساحة واسعة من النخيل، وهذا دليل قاطع على أن هناك تغيرات مناخية ملحوظة استجابت لها بعض النباتات كالنخيل ونتيجة لارتفاع درجة الحرارة إلى معدلات صيفية في شهر ديسمبر، وانخفضت درجة الحرارة إلى معدلات شتوية أحياناً في



الأرض بمختلف عناصره وأهم تلك العناصر هي درجات الحرارة لتأثيرها الكبير على مختلف العناصر الأخرى. وتشير الدراسات إلى حدوث تغيرات كبيرة في المناخ نتيجة زيادة تدخل الإنسان وزيادة نسبة غازات الاحتباس الحراري مما أدى إلى زيادة في درجات الحرارة بمعدل ٢ درجة مئوية منذ عام ١٩٥٠ ٢٠٠٧.ipcc. وتكرار الحوادث المتطرفة في المنطقة العربية وتناقص كميات الأمطار.

شهر مايو، بمعنى أن درجة الحرارة حصل فيها تذبذب حاد الأمر الذي جعل النخلة تعيش في وهم الفترة الشتوية فـ«طلعت» من جديد.

وفي فصل الشتاء تساقطت الثلوج بشكل كبير حتى غطت مساحات شاسعة من الأرض في بعض الأماكن شمال وجنوب المملكة، كما أصابت بعض المزارع موجات حادة من الصقيع أدت إلى تلف الكثير من المحاصيل.

يعد المناخ من أهم الظواهر المؤثرة على سطح

الصقىع اتلف بعض المزارع في المملكة

درجات الحرارة بالرياض وصلت إلى ٤٦°C في شهر مايو

موجات الغبار ازدادت يحدة هذا العام

الثلوج عطت بعض مناطق المملكة



حمزة محمد حمزة

أخصائي أرصاد جوية  
بالإدارة العامة للمحطات السطحية  
المراجعة العلمية: د. عبدالله عبدالرحمن

# تحويل خرائط المسجلات الورقية إلى بيانات رقمية

## مقدمة

تحت المنظمة العالمية للأرصاد الجوية أعضائها على تقديم معلومات عن محطات الرصد التي مر عليها مائة عام، وحيث إن تاريخ رصد بيانات الأرصاد الجوية في مصر يمتد منذ عام ١٨٣٩ ومروراً بعام ١٩٢٤ بافتتاح مكتب بمطار الماظة حتى تأسيسها كمصلحة أرصاد عام ١٩٤٧ ثم تحويلها كهيئة عام ١٩٧٢، فإن الهيئة العامة للأرصاد الجوية تمتلك سجل هائل من البيانات المحفوظة رقمياً بوسائل متعددة منذ عام ١٩٧٤ وهذا تاريخ تأسيس إدارة الحاسب الآلي سابقاً، الإدارة العامة للحاسوب الآلي حالياً، المسئولة عن حفظ البيانات رقمياً، ولكن قبل هذا التاريخ كان يتم الحفظ إما في سجلات الأرصاد أو الخرائط المسجلة لضغط الجو والحرارة والرطوبة بأنواعها المختلفة، وتتولى إدارة الميكروفيلم حفظ جميع الخرائط في قاعدة بيانات يسهل الحصول على صورة منها في أي وقت.

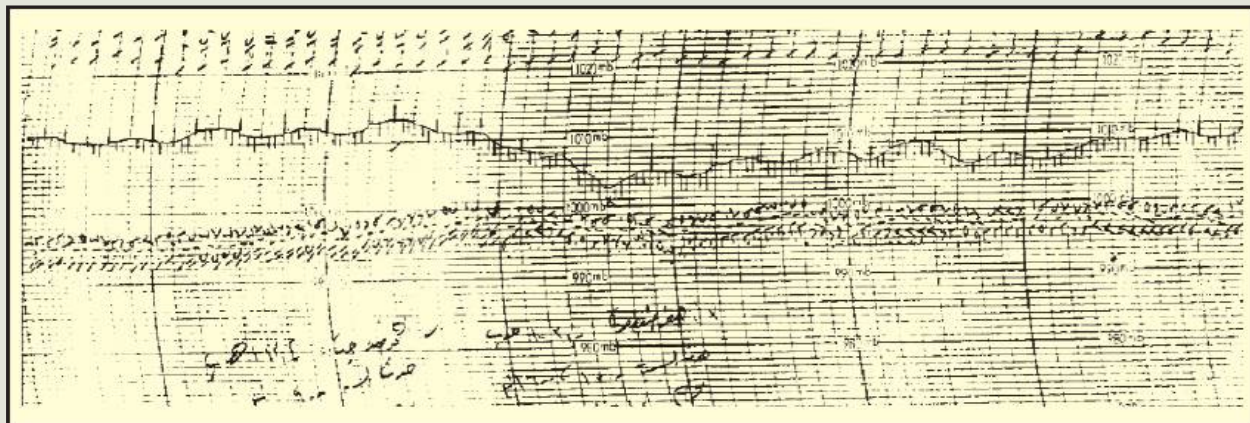
نقاط تمثل بداية ونهاية كلًّا من الخط الأفقي للقيمة القياسية العظمي والخط الأفقي للقيمة القياسية الصغرى لعنصر الخريطة.

٢- يقوم المستخدم باختيار عدة نقاط على منحني العنصر في الخريطة

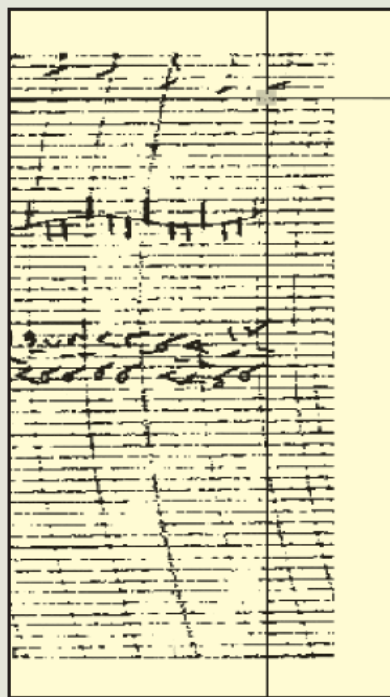
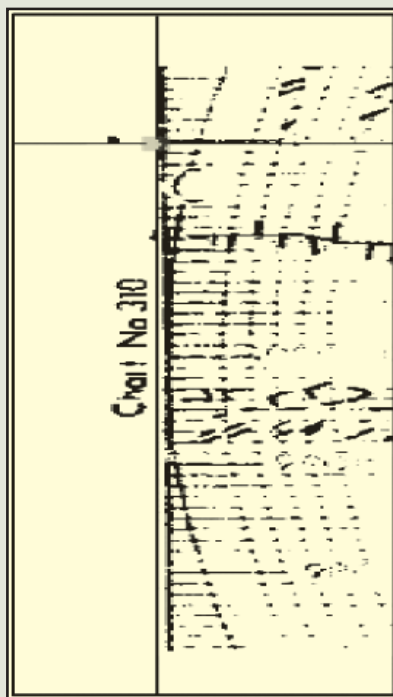
وقد قامت إدارة البرامج بالإدارة العامة للمحطات السطحية بتصميم برنامج بسيط يتيح تحويل خرائط المسجلات المحفوظة في إدارة الميكروفيلم إلى بيانات رقمية يمكن تخزينها في قاعدة البيانات، ويمكن تلخيص طريقة استخدامها كالتالي:

- ١- يقوم المستخدم باختيار أربعة

ونتيجة للتطور الهائل في وسائل حفظ البيانات وكذلك في حجم البيانات المحفوظة، أصبح هناك حاجة ملحة لتحويل الخرائط المسجلة إلى بيانات رقمية يتم التعامل معها بكل سهولة في التطبيقات المختلفة منها على سبيل المثال الحسابات المناخية أو النماذج العددية.



الشكل (١): صورة خريطة مسجل ضغط جوي لمحطة أرصاد سيدى برانى باستخدام الماسح الضوئي

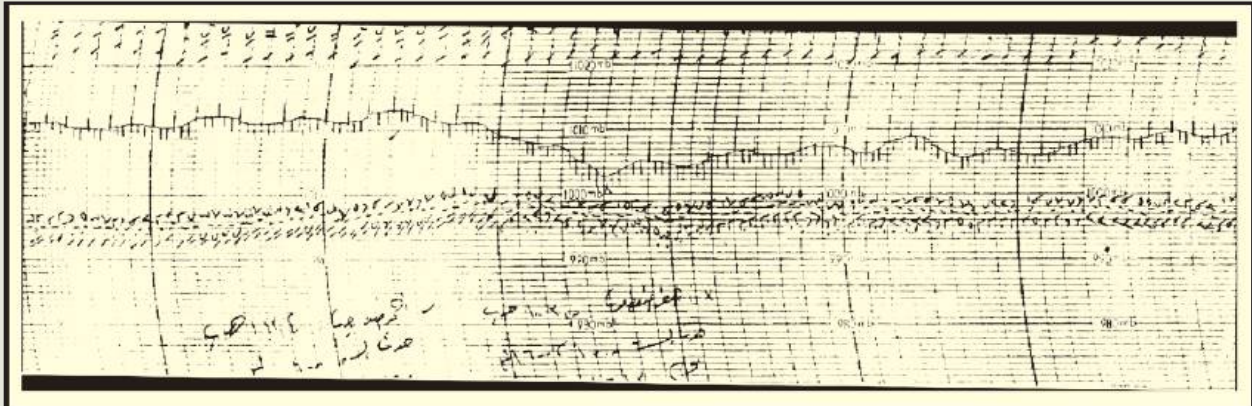


### وبالتالي يقوم البرنامج بالتالي:

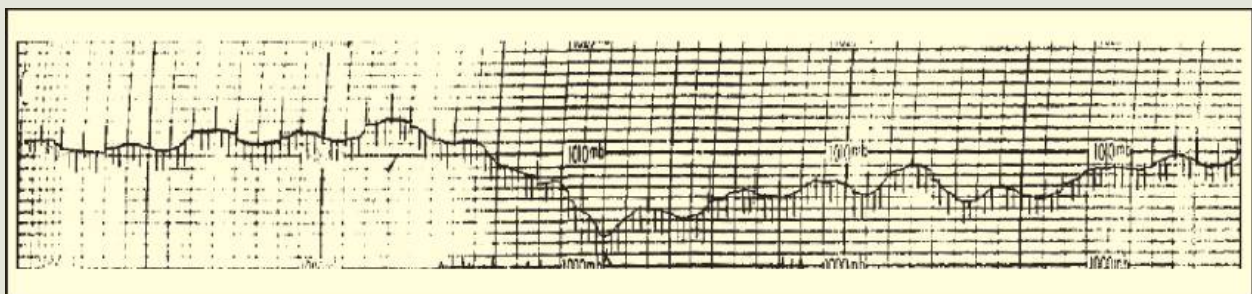
- ١- إعادة ضبط الخريطة في وضع أفقى بحيث تكون خطوط الخريطة الأفقيّة متوازية تماماً.
  - ٢- استعراض النقاط التي اختارها المستخدم.
  - ٣- إظهار مقارنة بين الخريطة والبيانات الرقمية.
  - ٤- إظهار خريطة جديدة باستخدام البيانات الرقمية.
  - ٥- حفظ البيانات الرقمية في ملف.
- وحيث إن المثال الذي سوف يتم تقديمها في هذا المقال، بالتعاون مع إدارة الميكروفيلم، يستخدم صورة باستخدام الماسح الضوئي لصورة ضوئية لخريطة مسجل الضغط، وذلك يتطلب البرنامج تدخل المستخدم حتى يتم الحصول على البيانات الرقمية في زمن قدره دقيقة واحدة تقريباً.. ولكن إذا تم استخدام صورة رقمية لخريطة فيما يمكن تعديل البرنامج لتحويل الخريطة مباشرة بدون أي تدخل من المستخدم في عدة ثواني فقط.
- سوف نستعرض بالخطوات

١- يقوم المستخدم باختيار أربعة نقاط بحيث تكون أول نقطتين تمثلان الحد الأيسر والأيمن للخط الأفقي الممثل لقيمة الحد الأعلى للضغط (١٠٢٠ ملي بار بالنسبة لهذه الخريطة) والنقطتان الأخيرتان تمثلان الحد الأيسر والأيمن للخط الأفقي الممثل لقيمة الحد

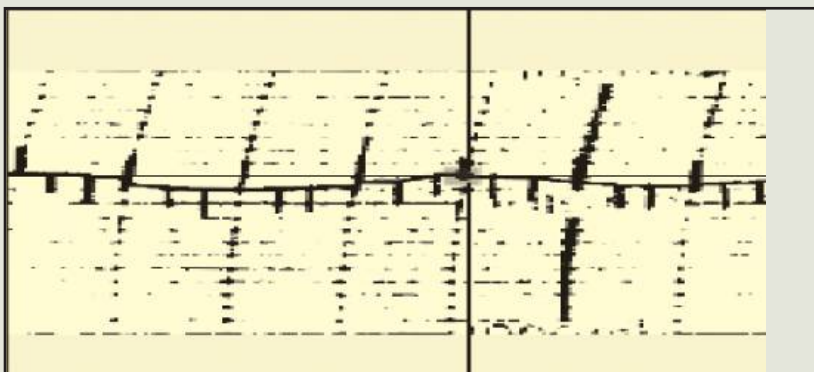
كيفية التعامل مع خرائط المسجلات حتى يتم تحويلها لبيانات رقمية من خلال مثال توضيحي لخريطة مسجل ضغط جوي لمحطة أرصاد سيدى برانى تسجل تغير الضغط الجوى ابتداء من الساعة (٠٦٠٠ توقيت عالمي) يوم ١٩٩٣/٥/٣١ لمدة سبعة أيام، كما بالشكل (١).



الشكل (٣): صورة الخريطة بعد ضبطها في وضع أفقي



الشكل (٤): صورة الخريطة بعد ضبطها في وضع أفقي



الشكل (٥): اختيار نقاط على منحنى الضغط الموجود بالخريطة

رياضية في استكمال البيانات (Interpolation) لإنشاء نقاط جديدة اعتماداً على مجموعة النقاط المحددة سلفاً من على المنحنى والمقارنة بينها، كما بالشكل (٧).

وبناءً على تلك المقارنة تم اختيار طريقة مناسبة في استنتاج باقي البيانات، وهي طريقة

التي يتم اختيارها تكون البيانات الرقمية الناتجة تمثل نفس البيانات الموجودة بالخريطة.

٥- يقوم البرنامج باستعراض النقاط التي اختارها المستخدم، كما بالشكل (٦)، وقد تم اختيار ١٦٠ نقطة على طول منحنى الضغط الجوي.

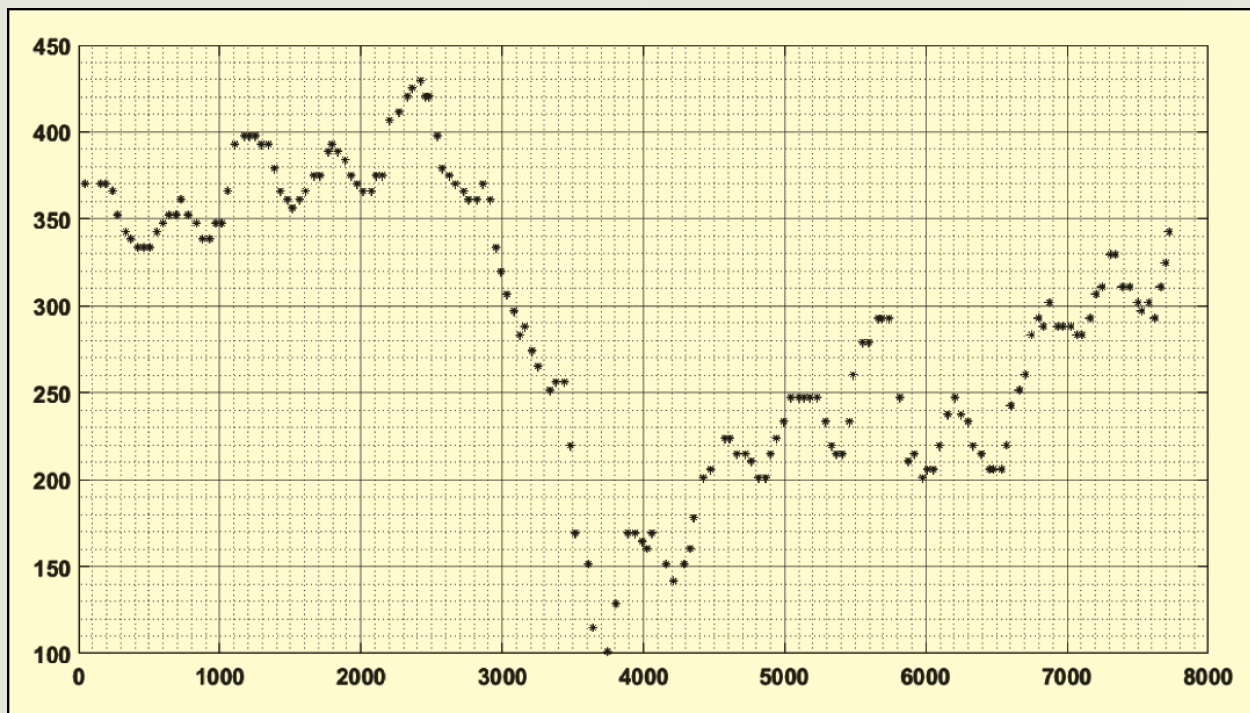
وقد تم مقارنة عدة طرق

الأدنى للضغط (١٠٠٠ ملي بار بالنسبة لهذه الخريطة) كما بالشكل (٢).

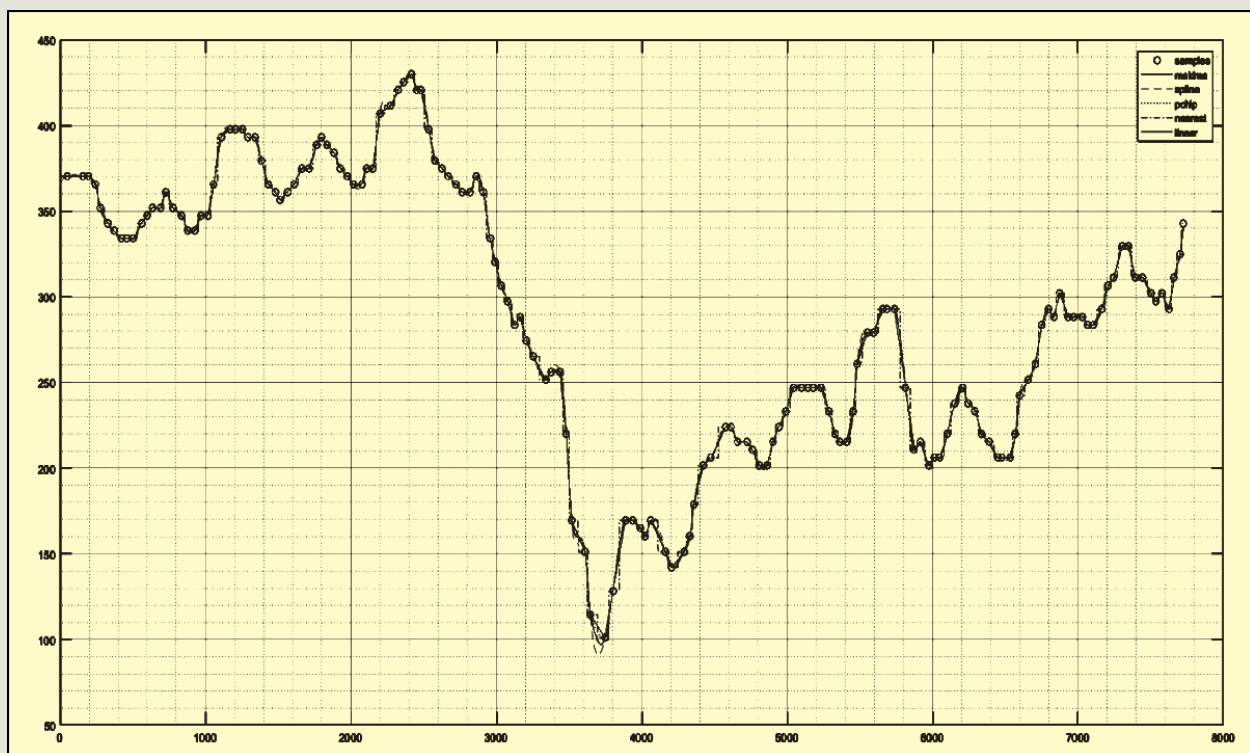
٢- بسبب أن الخريطة بها نسبة ميل بسيط عن الوضع الأفقي، فيجب اختيار النقاط بموازاة الخطوط الأفقية الموجودة في الخريطة بغض النظر عن زاوية الميل.. بعد اختيار النقاط يقوم البرنامج بإعادة ضبط الصورة في وضع أفقي بحيث تكون خطوط الخريطة الأفقية متوازية تماماً، كما بالشكل (٣).

٣- يقوم البرنامج بالضبط النهائي للصورة في انتظار اختيار المستخدم، كما بالشكل (٤).

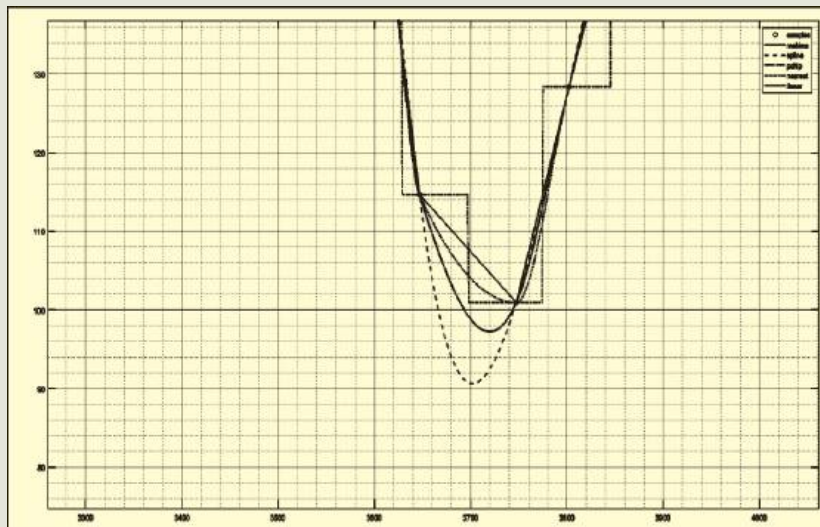
٤- يقوم المستخدم باختيار عدة نقاط على منحنى الضغط الموجود بالخريطة كما بالشكل (٥)، وكل ما زاد عدد النقاط



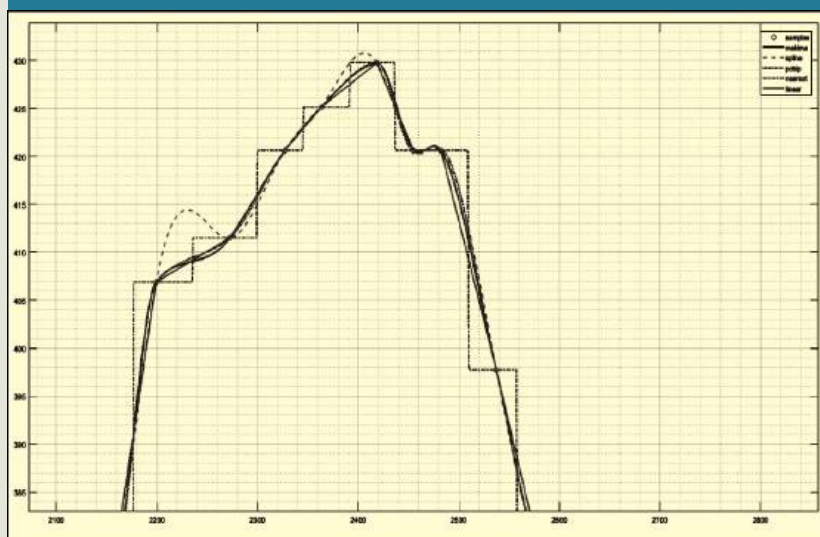
الشكل (٦): النقاط التي تم اختيارها من منحني الضغط الموجود بالخريطة



الشكل (٧): مقارنة بين الطرق المختلفة المستخدمة



الشكل (٨): تقرير جزء على المنحنى  
يوضح الفرق بين الطرق المختلفة المستخدمة



الشكل (٩): مقارنة بين الخريطة والبيانات الرقمية

(Modified Akima cubic Hermite interpolation)

٦- يقوم البرنامج بإظهار مقارنة بين الخريطة والبيانات الرقمية «اللون الأخضر»، كما بالشكل (٩)

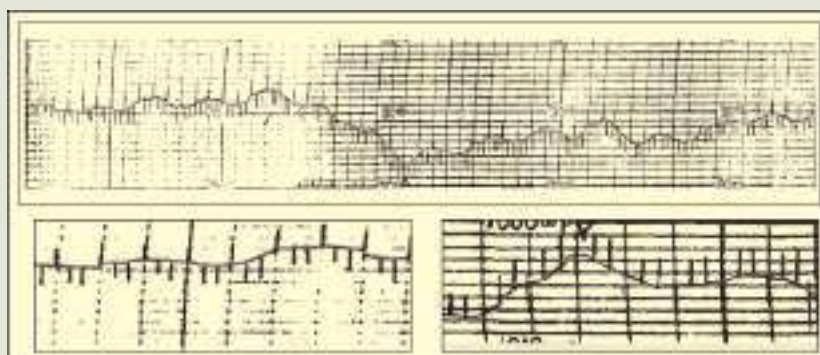
٧- على ذلك يتم حفظ البيانات الرقمية ويقوم البرنامج بإظهار خريطة جديدة للضغط باستخدام البيانات الرقمية، كما بالشكل (١٠)

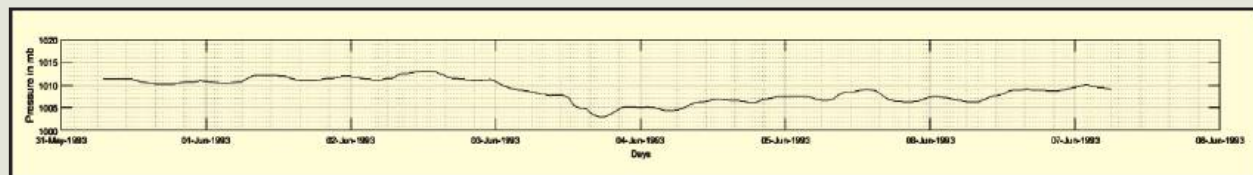
٨- شكل (١١) يوضح شكل الملف الناتج عن البرنامج وعلى ذلك يمكن تحويل كافة خرائط المسجلات إلى بيانات رقمية بعد التأكد من دقتها وتماثلها مع منحنى الخريطة، مما يعمّل

على تحسين واستغلال البيانات والمعلومات بأكمل وجه وبالتالي يسهل إدماجها في قاعدة البيانات الموجودة بالهيئة مما يحافظ على السجل التاريخي لبيانات الأرصاد مع ضمان توفر البيانات النوعية الموثوقة والكاملة وكذلك تطوير أدوات التحليل الإحصائي أو البحث عن البيانات التي يتم تخزينها وتسهيل الوصول إليها بصورة إلكترونية.

كما أن هناك مزايا متعددة للتحول الرقمي، الذي سيعمل على تحقيق تغيير جذري في التعامل مع البيانات المحفوظة في تطبيقات مختلفة مثل إمداد النماذج العددية المناخية بالبيانات مما يعمّل على تحسين أدائها ونتائجها، كما يساهم التحول الرقمي في إعطاء تصور أوضح للمعدلات المناخية.

كما يمكن تطوير البرنامج ليشمل كافة أنواع الخرائط المحفوظة كخرائط التحاليل الجوية بإجراء عمليات على الخرائط بهدف تحسينها طبقاً لمعايير محددة أو استخلاص بعض المعلومات منها أو معالجتها لتصبح خرائط رقمية.





شكل (١٠): خريطة للضغط باستخدام البيانات الرقمية

Record	Day	Hour	Pressure
١	٢١-May-1993	٠٦	١٠١١.٢٨
٢	٢١-May-1993	٠٧	١٠١١.٢٨
٣	٢١-May-1993	٠٨	١٠١١.٢٨
٤	٢١-May-1993	٠٩	١٠١١.٢٨
٥	٢١-May-1993	١٠	١٠١١.٢٨
٦	٢١-May-1993	١١	١٠١١.٢٢
٧	٢١-May-1993	١٢	١٠١٠.٨٠
٨	٢١-May-1993	١٣	١٠١٠.٥٢
٩	٢١-May-1993	١٤	١٠١٠.٣٧
١٠	٢١-May-1993	١٥	١٠١٠.٢٩
١١	٢١-May-1993	١٦	١٠١٠.٣٨
١٢	٢١-May-1993	١٧	١٠١٠.٣٨
١٣	٢١-May-1993	١٨	١٠١٠.٣٤
١٤	٢١-May-1993	١٩	١٠١٠.٥٠
١٥	٢١-May-1993	٢٠	١٠١٠.٧٠
١٦	٢١-May-1993	٢١	١٠١٠.٧٧
١٧	٢١-May-1993	٢٢	١٠١٠.٩٨
١٨	٢١-May-1993	٢٣	١٠١٠.٨٠
١٩	٠١-Jun-1993	٠٠	١٠١٠.٧٧
٢٠	٠١-Jun-1993	٠١	١٠١٠.٤٩
٢١	٠١-Jun-1993	٠٢	١٠١٠.٣١
٢٢	٠١-Jun-1993	٠٣	١٠١٠.٤٣
٢٣	٠١-Jun-1993	٠٤	١٠١٠.٦١
٢٤	٠١-Jun-1993	٠٥	١٠١٠.٨٠
٢٥	٠١-Jun-1993	٠٦	١٠١١.٥٩
٢٦	٠١-Jun-1993	٠٧	١٠١٢.٠٨
٢٧	٠١-Jun-1993	٠٨	١٠١٢.٣٤
.....	.....	.....	.....
.....	.....	.....	.....
.....	.....	.....	.....
.....	.....	.....	.....
.....	.....	.....	.....
.....	.....	.....	.....

شكل (١١): ملف البيانات الرقمية



# الطقس والجراد الصحراوي



تقرير:

اعداد المنظمة العالمية للأرصاد الجوية  
منظمة الأغذية والزراعة للأمم المتحدة ٢٠١٦

## محتوى رطوبة التربة

تجري بحوث لاستخدام صور الاستشعار من بعد لمراقبة رطوبة التربة على أساس تشغيلي وهذا يمكن أن يساعد على تحديد المناطق التي قد تكون مواتية لوضع الجراد الصحراوي بيضه.



الشكل ٤-١ استخدام النوع المسمدة من المطياف الأشعاعي للتصوير المعتمد الاستثنائية (MODIS) لرصد الغطاء النباتي وقد تسببت الأمطار الموسمية التي هطلت أثناء صيف عام ٢٠١٥ في اخضرار النباتات السنوية في شمال مالي وتبين خريطة الأخضر الدينامي المستمد من المطياف الأشعاعي للتصوير المعتمد الاستثنائية (MODIS) للفترة من ١١ إلى ٢٠ أيلول سبتمبر ٢٠١٥ أن النباتات الخضراء ظهرت أولاً في أوائل تموز/ يوليو في حين أدت الأمطار التي سقطت مؤخراً في الجزء الغربي من المنطقة إلى اخضرار مناطق جديدة وخرائط الأخضرار تساعد فرق عمليات المسح على تحديد أولويات المناطق التي يجب فحصها للتتأكد ما إذا كان يوجد فيها جراد.

## التنبؤات الموسمية بالطقس

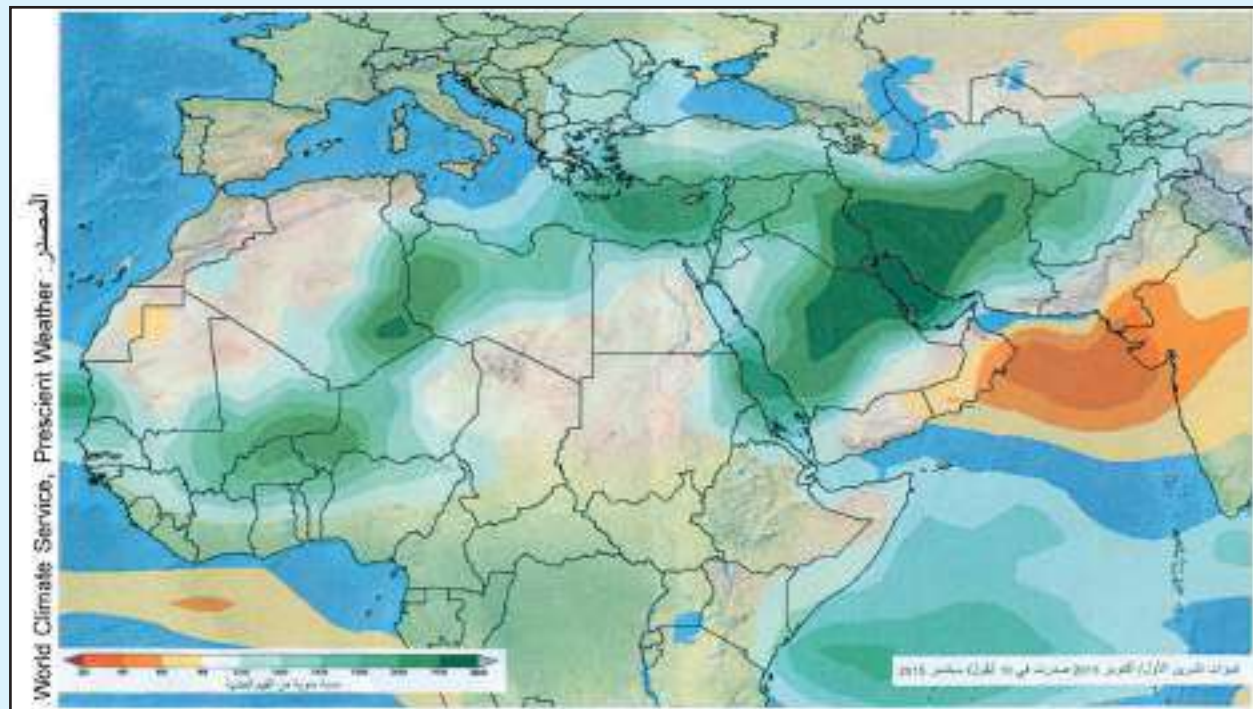
الصحراوي (DLIS) على أساس تشغيلي ولكن مع توخي الحذر فهي تدرج جزئياً في التنبؤات بالجراد التي ترد في نشرة الجراد الصحراوي التي تصدرها منظمة الأغذية والزراعة (FAO) شهرياً وتحديثاتها وغيرها من المنشورة التي يقدمها ذلك المرفق إلى البلدان المنكوبة بالجراد والتي المجتمع الدولي.

### نماذج المسارات

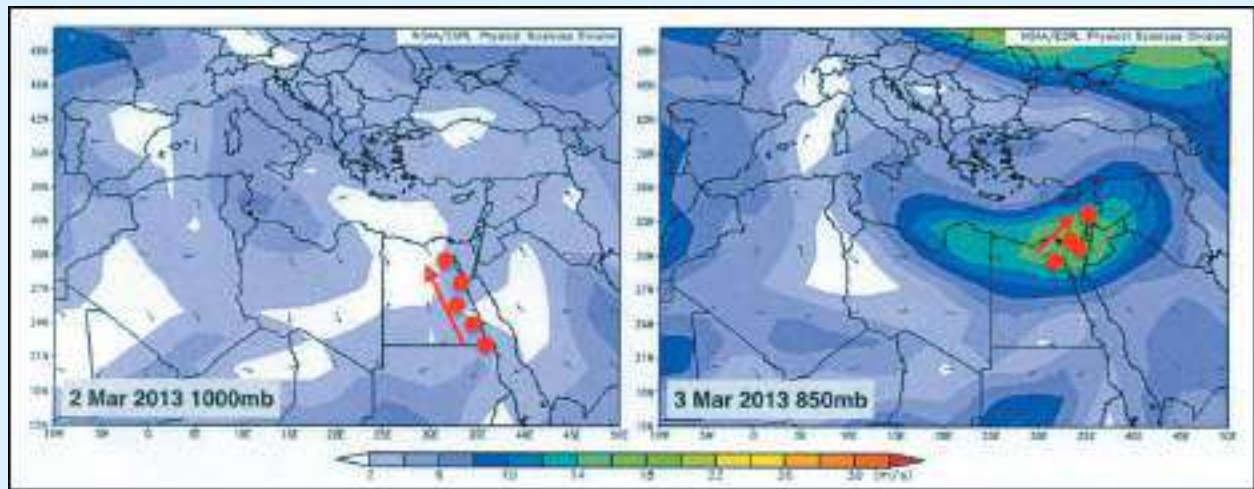
إن نموذج المسار يحرك عادة رزمة مكعبية من الهواء إلى الأمام أو إلى الخلف زمنياً من منطقة إلى أخرى استناداً إلى تباينات درجة الحرارة والضغط واتجاه الرياح وسرعتها على مستويات مختلفة في الغلاف الجوي لمدة 6 ساعات أو 12 ساعة (الشكل ١٦) ولأن الجرادات هي حشرات تطير بشكل منفصل وتتجرب مع الرياح من الممكن استخدام هذه النماذج لتقدير تحركات الجرادات البالغة والأسرب بمرور الزمن وعبر المكان (الشكل ١٧) فعلى سبيل المثال إذا ظهر سرب فجأة في موقع بعيد من الممكن استخدام النماذج لفهم من أين ومن المحتمل أن يكون السرب قد جاء أصلاً كذلك إذا كان سرب موجوداً في منطقة ثباتات تجفف من الممكن أن يقدر النموذج أين يتحرك السرب في غضون الأيام العشرة التالية.

يستخدم مرفق معلومات الجراد الصحراوي (DLIS) بمنظمة الأغذية والزراعة (FAO) منذ عام ٢٠٠٥ تنبؤات موسمية مستمدة من النظام العالمي للخدمات المناخية (WCS) الذي يتبع بالشذوذ في سقوط الأمطار ودرجات الحرارة لمدة ستة أشهر في منطقة انحسار الجراد الصحراوي (الشكل ١٥) وهذه النواتج تكملها تنبؤات موسمية من أجل التنبؤ بالشذوذ في سقوط الأمطار ودرجات الحرارة لمدة الأسبوعين إلى الأربعة أسابيع التالية وتتبؤات النظام العالمي للخدمات المناخية تستند جزئياً إلى نواتج تنبؤ المجموعات الموسمية الخاصة بالمركز الأوروبي لتتبؤات الطقس على المدى المتوسط وهو مركز دولي موجود في ريدنج بالمملكة المتحدة وقدعمه ٢٥ دولة أوروبية وتحسب التنبؤات الموسمية الاحتمالية من مجموعات النماذج الحاسوبية التي تحاكى الحركات وعمليات نقل الطاقة في الغلاف الجوي والمحيطات ثم تجري تجارب متعددة لتشمل نطاق أوجه عدم التيقن في الرصدات وفي النماذج العددية مع اختلاف طفيف قياساً بالأوضاع الأولية ثم تحسب الاحتمالات من خلال توزيع فرادي التنبؤات ضمن المجموعة.

وهذه التنبؤات يستخدمها مرفق معلومات الجراد



الشكل ١٥ - تفسير تنبؤات سقوط الأمطار الموسمية ومن المتوقع أن تسقط كمية من الأمطار تبلغ ثلاثة أمثال الكمية المعتادة فوق منطقة الخليج الفارسي في حين قد تسقط كمية من الأمطار تبلغ ضعف الكمية المعتادة في أجزاء من الجزائر وليبيا ومالي والنيجر ويقدر أن يتعرض غرب الهند لأحوال جوية أجف من المعتاد.



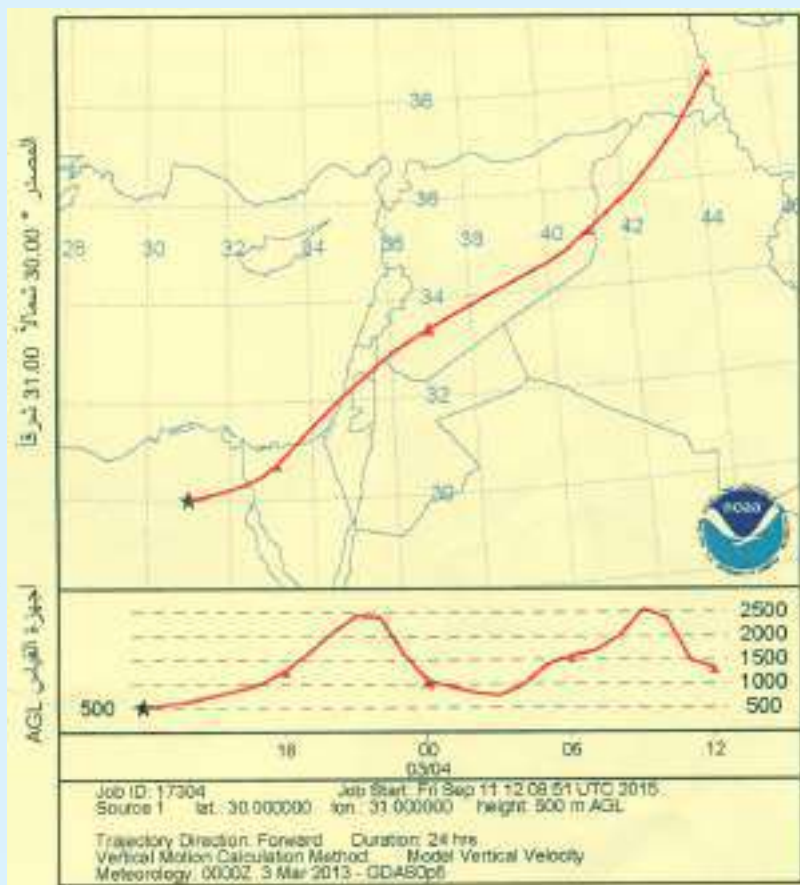
الشكل ١٦- استخدام نماذج الرياح. هناك أسراب صغيرة (النقط الحمراء) نابعة من عملية تكاثر شتوية على ساحل البحر الأحمر على امتداد كلا جانبي الحدود بين مصر والسودان قد خرقت في اتجاه الشمال على الرياح الجنوبية الدافئة على طول الساحل والتلال المتاخمة بحيث وصلت إلى القاهرة في ٢ آذار/ مارس ثم خرقت شرقاً إلى سيناء وإسرائيل ولبنان في اليوم التالي.

**نموذج HYSPLIT للإدارة الوطنية للمحيطات والغلاف الجوي (NOAA)**

يبدأ المسار الساعة ١٢٠٠ بالتوقيت العالمي المنسق. ٣ آذار/مارس ٢٠١٣

**بيانات الأرصاد الجوية (GHDA)**

الإدارة الوطنية للمحيطات والغلاف الجوي (NOAA)



الشكل ١٧- استخدام نموذج مسار لتقدير هجرة الجراد الصحراوي ويؤكد المسار المتجه إلى الأمام الخاص بالنماذج HYSPLIT للإدارة الوطنية للمحيطات والغلاف الجوي (NOAA) حركة أسراب صغيرة وجماعات بالغة من الجراد من القاهرة وشمال شرق مصر إلى سيناء وإسرائيل وفلسطين في ٣ آذار/ مارس ٢٠١٣ ومع أن بعض مجموعات صغيرة هي التي وصلت إلى لبنان لم يبلغ عن وجود جراد على مسافة أبعد شرقاً.

# وزارة الطيران المدني

## الهيئة العامة للأرصاد الجوية

### إعلان

#### مجلة الأرصاد الجوية

تصدر الهيئة العامة للأرصاد الجوية مجلة ربع سنوية مجلية متخصصة في مجال الأرصاد الجوية وتطبيقاتها على مختلف الأنشطة مثل الطيران المدني والزراعة والصناعة والرى والجغرافية المناخية والطاقة الجديدة والمتعددة والبيئة والنقل والمواصلات، كذلك تحتوى المجلة على تقارير مناخية وأحدث ما وصلت إليه التكنولوجيا في مجال الرصد الجوى ونظم التنبؤات الجوية والتغيرات المناخية. وتتشرف أسرة التحرير بدعوة جميع المتخصصين في مختلف المجالات العلمية ذات الصلة بالأرصاد الجوية للمشاركة بإعداد مقالات لنشرها في المجلة وعلى من يرغب في الحصول على المجلة يمكنه الاشتراك كالتالى:

### رسوم الاشتراك

■ ٤٠ جنیهاً يضاف إليها ١٢ جنیهاً في حالة طلبها بالبريد.

### أسعار الإعلانات بمجلة الأرصاد الجوية

- ١- في بطن الغلاف الأول بمبلغ ٧٥٠ جنیهاً مصریاً.
- ٢- في بطن الغلاف الآخر بمبلغ ٥٠٠ جنیه مصری.
- ٣- بداخل المجلة صفحة كاملة بمبلغ ٣٧٥ جنیهاً مصریاً، وتقدر الإعلانات الأقل من صفحة وفقاً لسبة مساحتها من الصفحة.

### يسدد الاشتراك بإحدى الطرق التالية:

- شيك باسم الهيئة العامة للأرصاد الجوية.
- حواله بريدية باسم الهيئة العامة للأرصاد الجوية.
- نقداً بخزينة الهيئة.